

Inleiding op Quantum Computing en Algoritmen

Dr. Ir. Adil Acun
November 2022

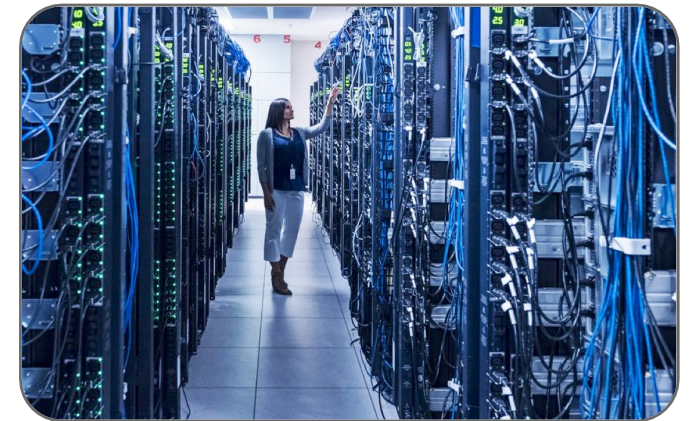
NOREA
DE BEROEPSORGANISATIE VAN IT-AUDITORS



ING Quantum



do your thing



Hedendaagse digitale computers

Wiskunde op Fysieke Apparaten



Informatiedragers: bits

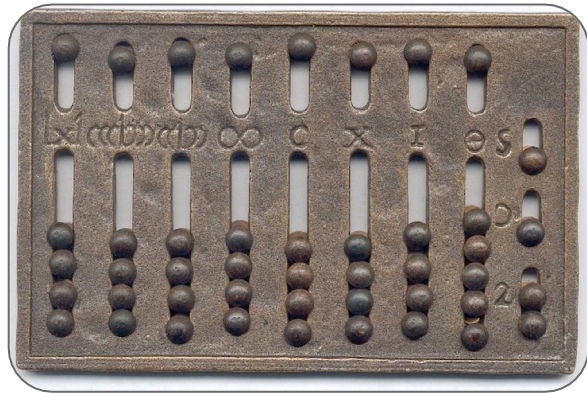
Wiskunde: boolean algebra



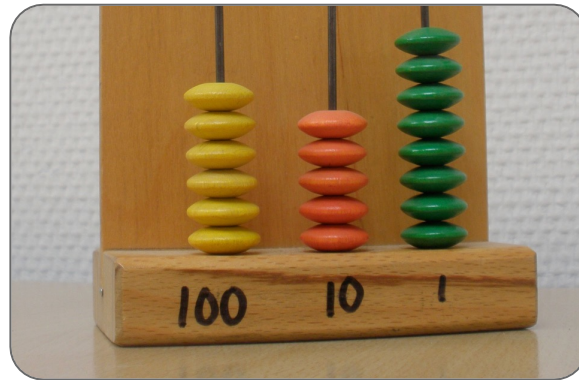
Apparaat: Laptop met een siliciumchip

Transistor: binaire hoog/laag spanningswaarden

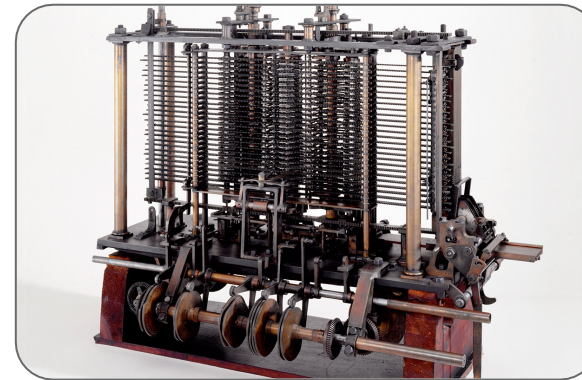
“Computation”: een uitvoering van een berekening



*Telraam
Romeins*



*Telraam
Decimaal*



*Analytical Engine
Decimaal*



*Hoofdrekenaars
Beroep*

Wiskunde op Fysieke Apparaten

$$\begin{matrix}
 1 & x+1 & x^2+1 \\
 1 & y+1 & y^2+1 \\
 1 & z+1 & z^2+1
 \end{matrix}
 \mathbf{x} = \sum_{i=1}^n x_i \mathbf{v}_i = x_1 \mathbf{v}_1 + x_2 \mathbf{v}_2 + \dots + x_n \mathbf{v}_n \quad \mathbf{v}_k = \mathbf{y}_k - \sum_{i=1}^{k-1} \frac{(\mathbf{v}_i, \mathbf{y}_k)}{(\mathbf{v}_i, \mathbf{v}_i)} \mathbf{v}_i$$

$$\frac{\mathbf{p}^T \nabla^2 F(\mathbf{x}) \mathbf{p}}{\|\mathbf{p}\|^2} \quad F(\mathbf{x}) = F(\mathbf{x}^*) + \nabla F(\mathbf{x}^*)^T |_{\mathbf{x}=\mathbf{x}} (\mathbf{x} - \mathbf{x}^*) + \frac{1}{2} (\mathbf{x} - \mathbf{x}^*)^T \nabla^2 F(\mathbf{x}^*) |_{\mathbf{x}=\mathbf{x}} (\mathbf{x} - \mathbf{x}^*) + \dots$$

$$\nabla F(\mathbf{x}) = \left[\frac{\partial}{\partial x_1} F(\mathbf{x}) \quad \frac{\partial}{\partial x_2} F(\mathbf{x}) \quad \dots \quad \frac{\partial}{\partial x_n} F(\mathbf{x}) \right]^T \quad \begin{matrix} \mathbf{p}_1^T \\ \mathbf{p}_2^T \\ \vdots \\ \mathbf{p}_Q^T \end{matrix}$$

LINEAR ALGEBRA

$$\begin{matrix}
 W^{new} = (1-y)W^{old} + \alpha t_q \mathbf{p}_q^T \\
 W^{new} = W^{old} + \alpha(t_q - a_q) \mathbf{p}_q^T \\
 W^{new} = W^{old} + \alpha a_q \mathbf{p}_q^T
 \end{matrix}
 \begin{matrix}
 \frac{\partial}{\partial x_1} F(\mathbf{x}) & \frac{\partial}{\partial x_2} F(\mathbf{x}) & \dots & \frac{\partial}{\partial x_n} F(\mathbf{x}) \\
 \frac{\partial}{\partial x_2 \partial x_1} F(\mathbf{x}) & \frac{\partial}{\partial x_2^2} F(\mathbf{x}) & \dots & \frac{\partial}{\partial x_2 \partial x_n} F(\mathbf{x}) \\
 \vdots & \vdots & \ddots & \vdots \\
 \frac{\partial}{\partial x_n \partial x_1} F(\mathbf{x}) & \frac{\partial}{\partial x_n \partial x_2} F(\mathbf{x}) & \dots & \frac{\partial}{\partial x_n^2} F(\mathbf{x})
 \end{matrix}$$



Informatiedragers: qubits

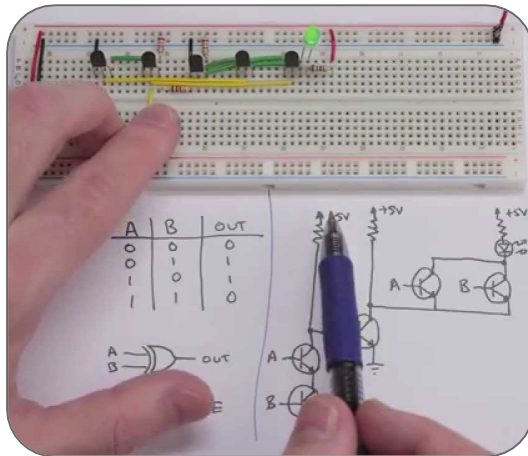
Wiskunde: lineaire algebra
en kansberekeningen

Apparaat: Quantum Computer

Fysica: quantummechanica

Concept van Quantum Computing

Vergelijking



Logische circuits

Bits

Gates (Poorten)

Wiskunde:
Boolean algebra

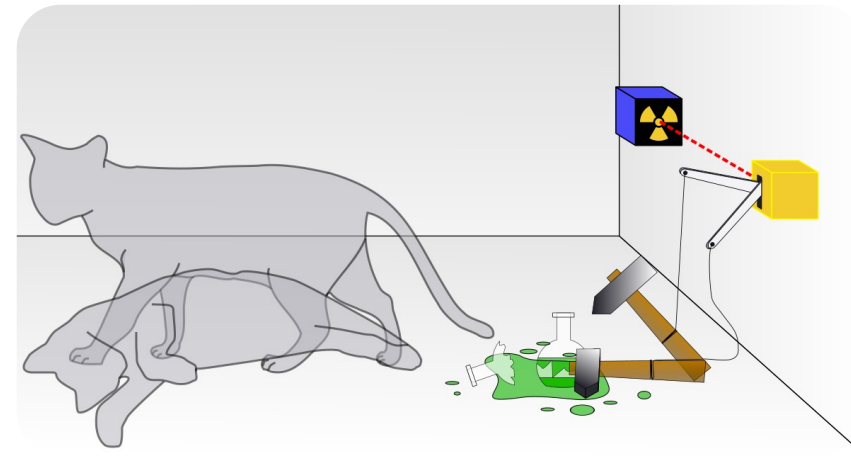


Quantum circuits

Qubits

Quantum-gates

Wiskunde:
Lineaire algebra



Onderliggende quantumfenomenen

Superposition / Superpositie

Entanglement / Verstrengeling

Interference / Interference

Measurement / Meting

Continue en Discrete Toestanden

Toestand: staat waarin iemand of iets zich bevindt



$$|girl\rangle = \alpha |0\rangle + \beta |1\rangle$$

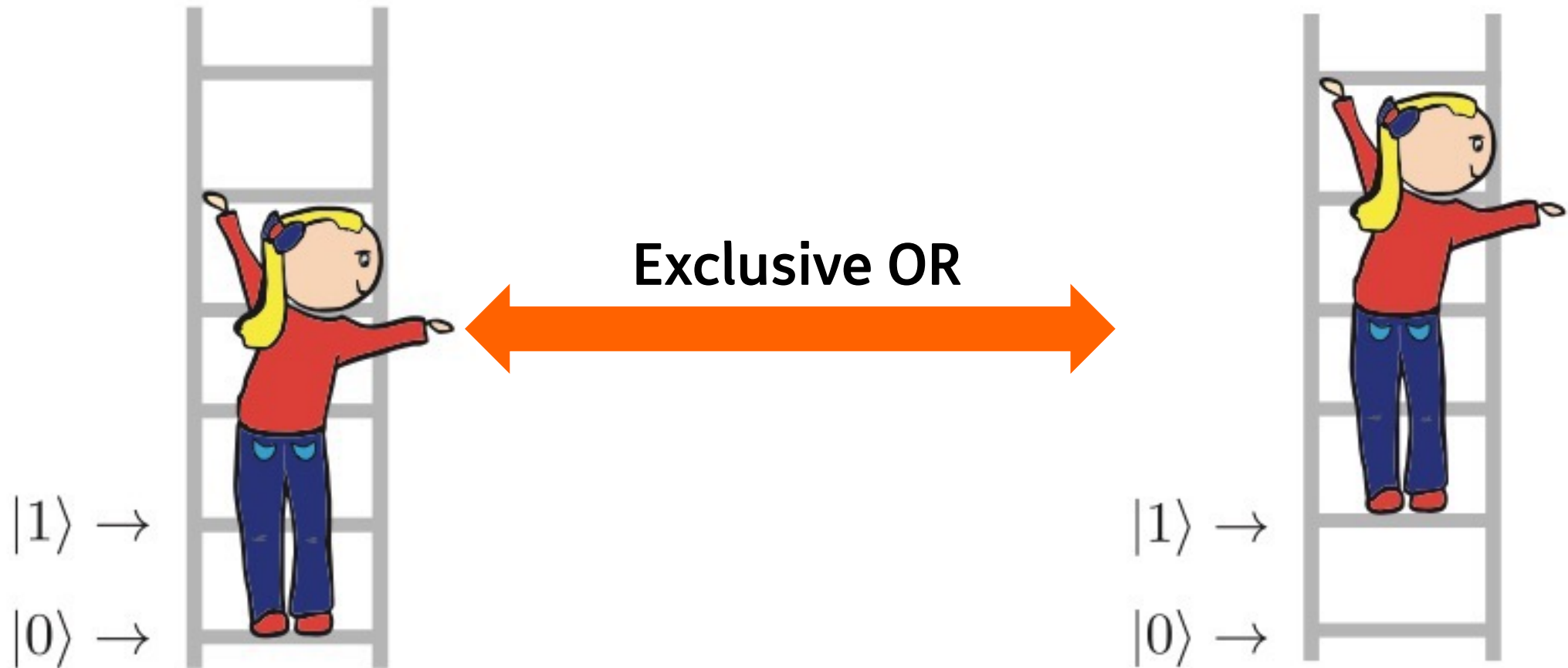
Discrete basistoestanden

Toestand van object

Coefficienten (Verdeling)

Deterministische Toestanden

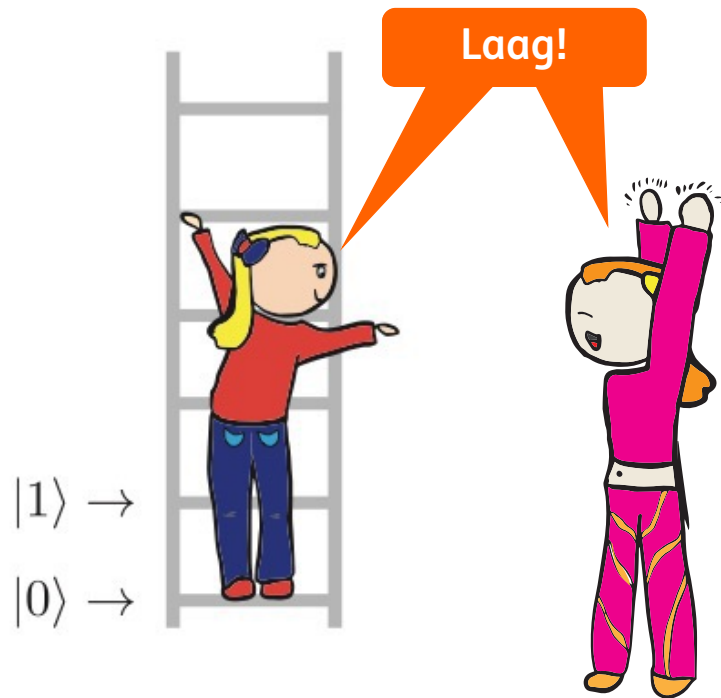
Uitsluitend één toestand op elk moment



Stochastische Toestanden



Stochastische en Deterministische Toestanden



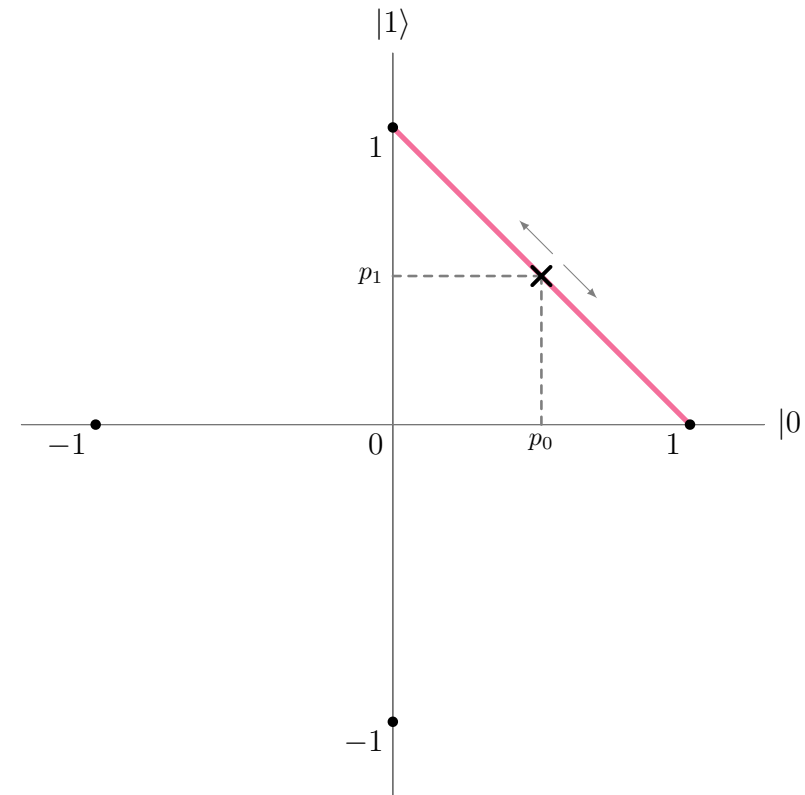
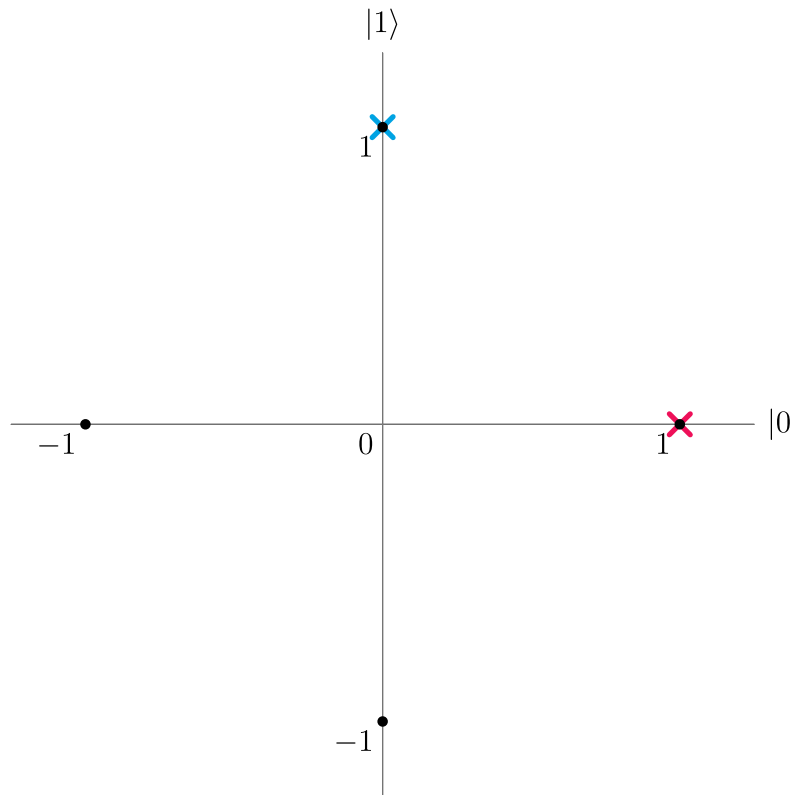
$$\vec{p} = \begin{bmatrix} 1/2 \\ 1/2 \end{bmatrix} \xrightarrow{\text{Neem monster}} b = \begin{bmatrix} 1 \\ 0 \end{bmatrix}$$

Stochastisch
Exact, verborgen

Deterministisch
Exact, waargenomen

Stochastische en Deterministische Toestanden

Grafische representatie



Quantum Toestanden

Samenspel van golven en kansen; Fase

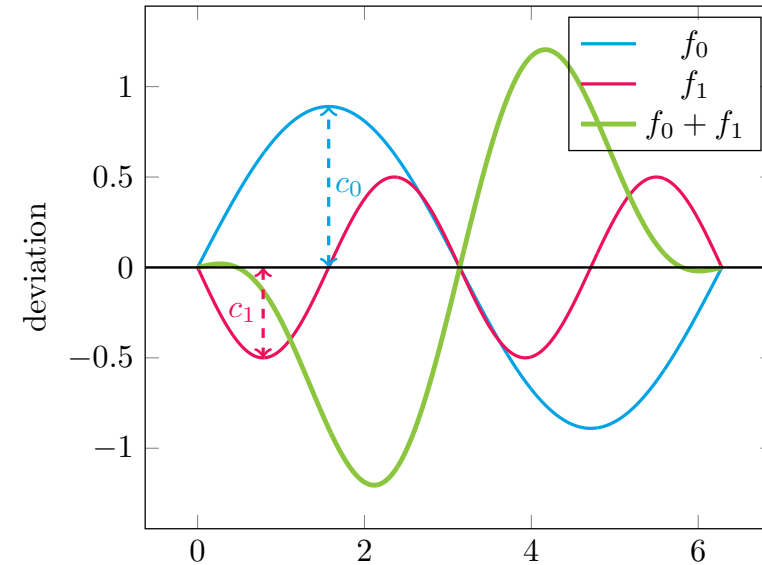
Kansberekening



$$|coin\rangle = p_h |heads\rangle + p_t |tails\rangle$$

Waarschijnlijkheden tussen 0 en 1

Golven



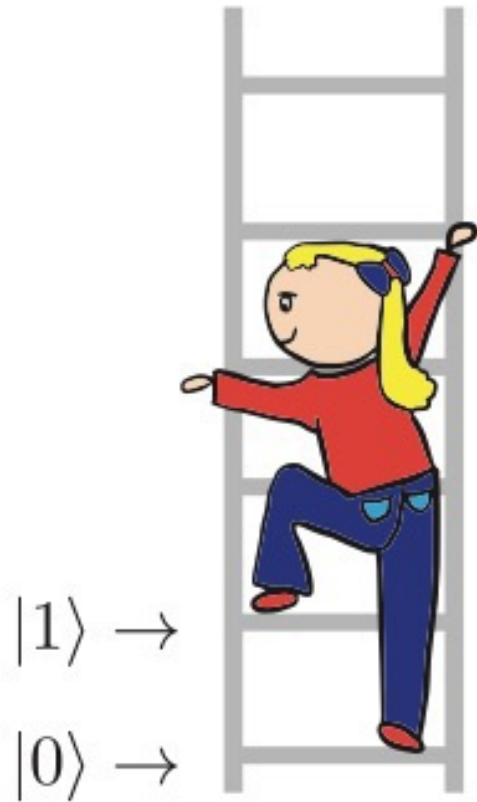
$$|u\rangle = c_0 |0\rangle + c_1 |1\rangle$$

Amplitudes kunnen elk getal aannemen

$$f_0(x) = \underbrace{\frac{\sqrt{3}}{2}}_{c_0} \underbrace{\sin(x)}_{|0\rangle} \quad f_1(x) = \underbrace{-\frac{1}{2}}_{c_1} \underbrace{\sin(2x)}_{|1\rangle}$$

Quantum en Kansberekening

Verband tussen amplitudes en waarschijnlijkheden



$$p_0 + p_1 = 1 \iff c_0^2 + c_1^2 = 1$$

Quantum toestand: $|girl\rangle = \frac{-1}{2} |0\rangle + \frac{\sqrt{3}}{2} |1\rangle$

$$p_0 = \frac{1}{4} \quad p_1 = \frac{3}{4}$$

*Voor complexe getallen $p_i = |c_i|^2$, $|c_0|^2 + |c_1|^2 = 1$

Randvoorwaarde aan Amplitudes

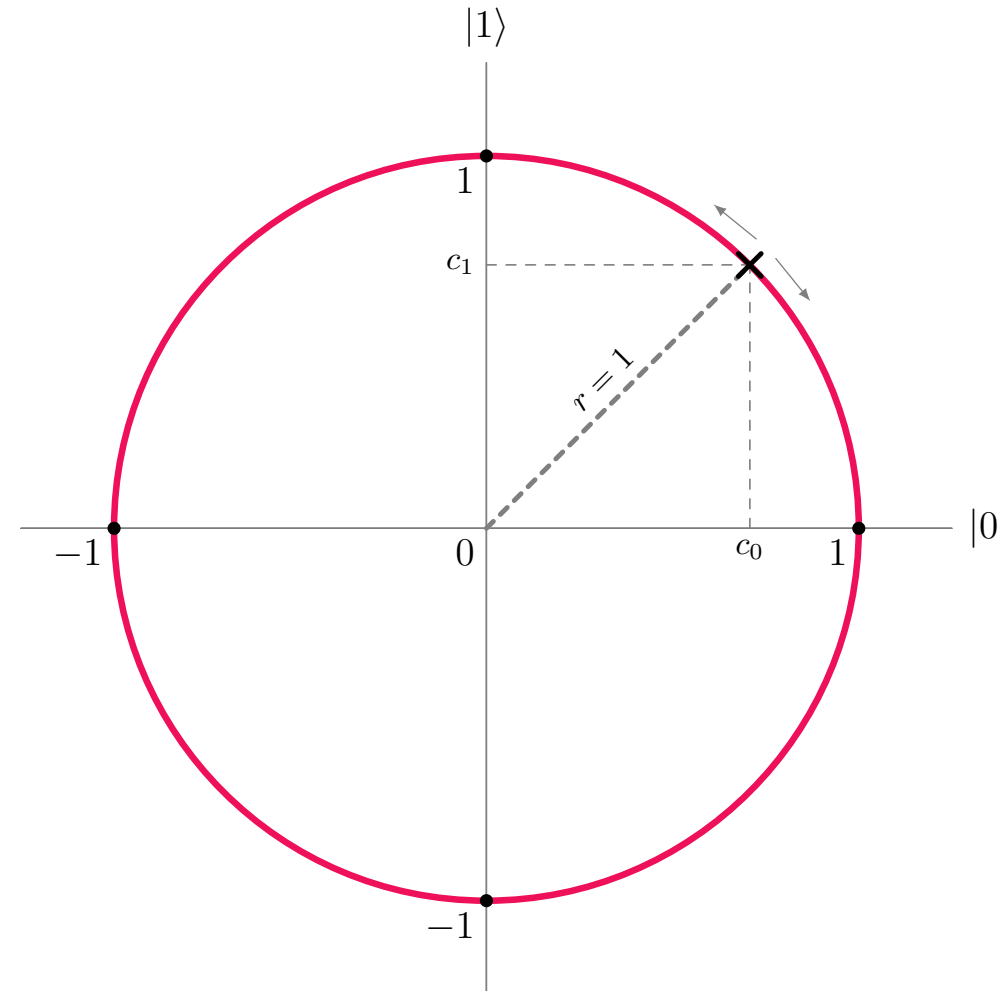
Totstandkoming van de Bloch cirkel

$$|girl\rangle = c_0 |0\rangle + c_1 |1\rangle$$

$$c_0^2 + c_1^2 = 1$$

Net als met Pythagoras!

$$a^2 + b^2 = c^2$$



*Voor complexe getallen gebruikt men een Bloch bol

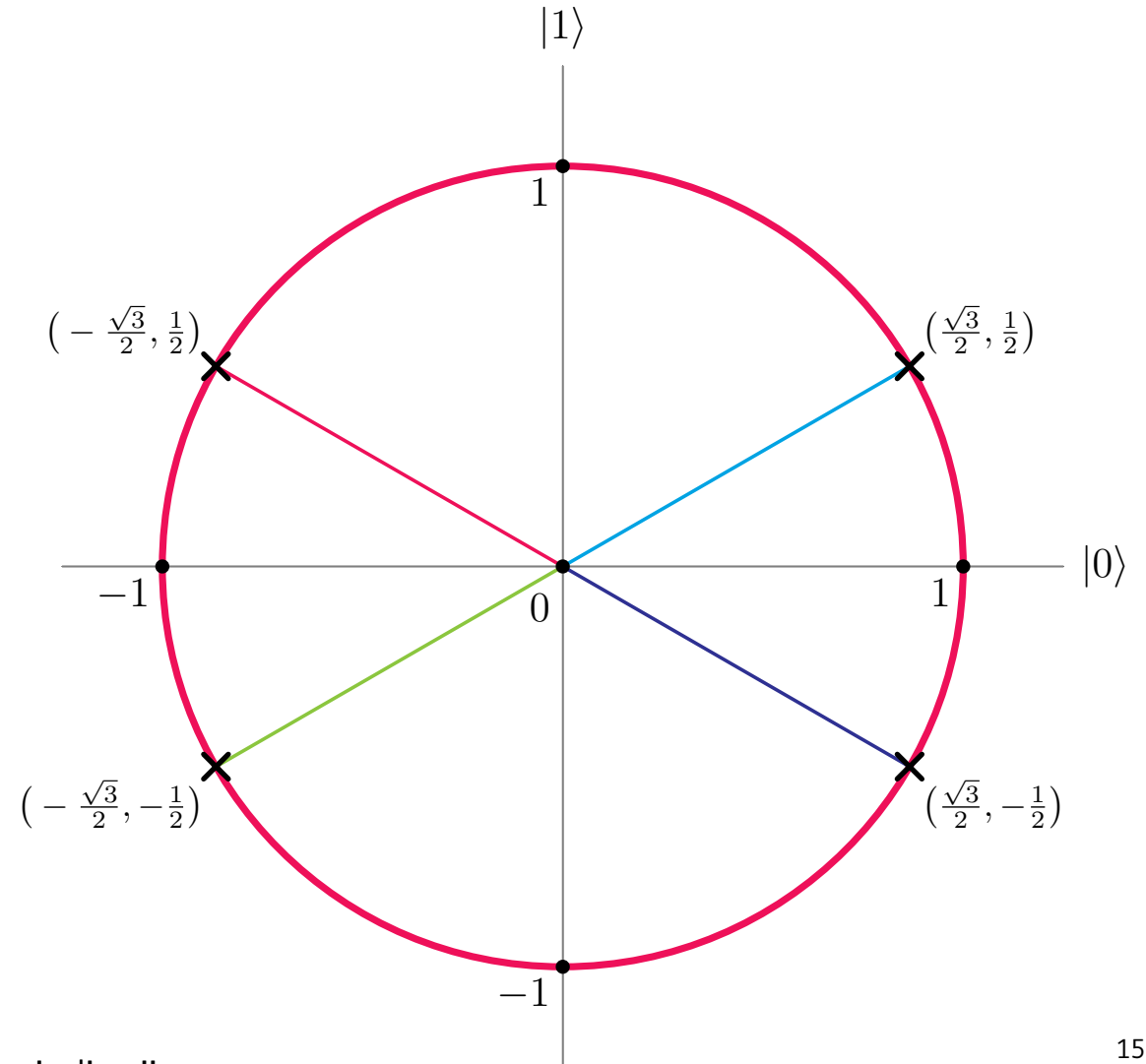
van Waarschijnlijkheden naar Amplitudes

Dubbelzinnigheid leidt tot onomkeerbaarheid

$$p_0 = \frac{3}{4} \qquad p_1 = \frac{1}{4}$$

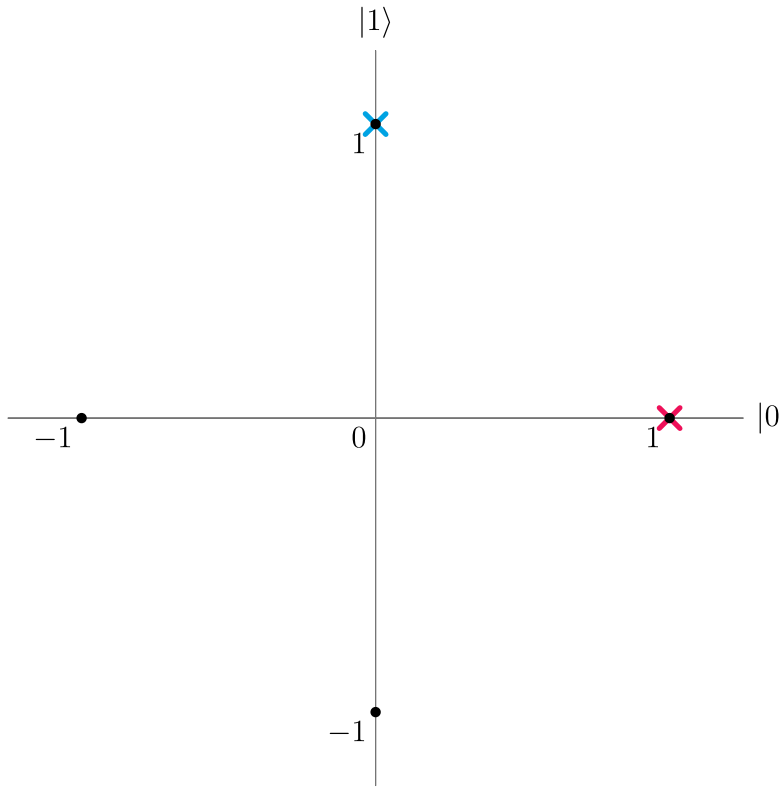
$c_i = \sqrt{p_i}$

$$c_0 = \pm \frac{\sqrt{3}}{2} \qquad c_1 = \pm \frac{1}{2}$$



*Voor complexe getallen kunnen de mogelijke coëfficiëntencombinaties oneindig zijn

Deterministisch, Stochastisch en Quantum

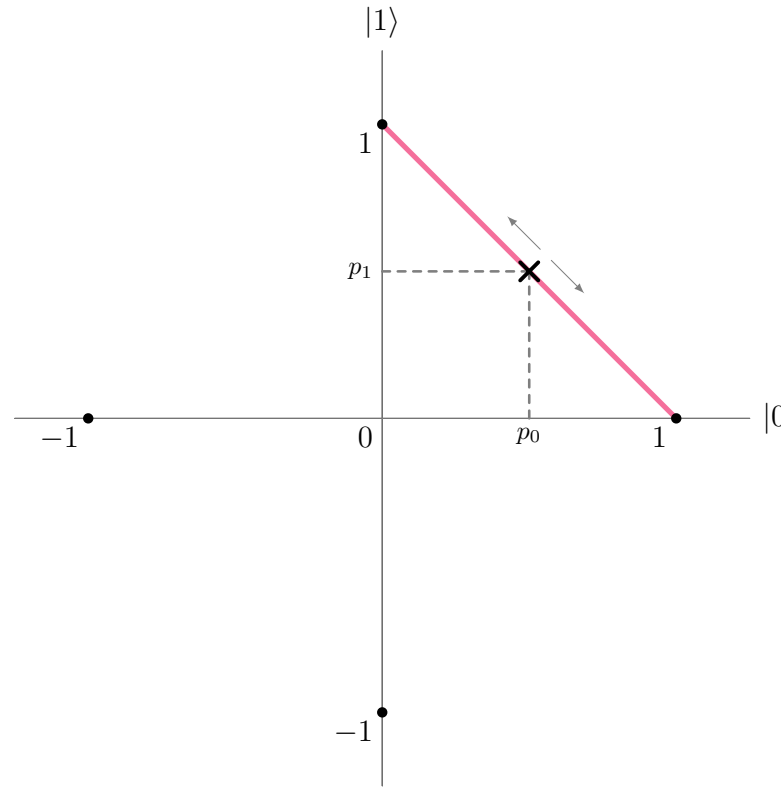


Klassieke Computer

Bits

0 of 1

Stay or switch operatoren

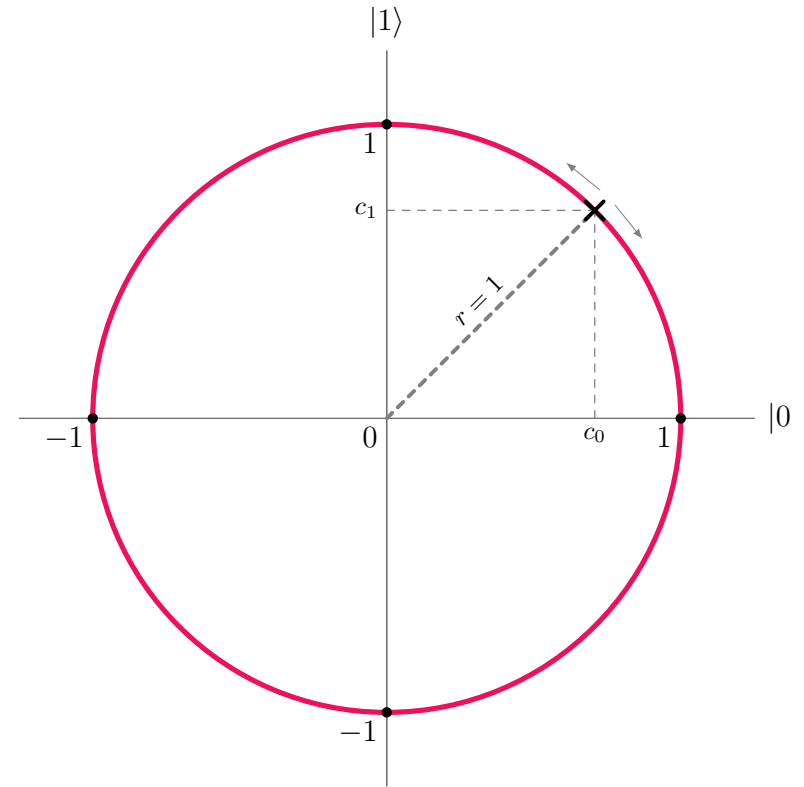


Probabilistic computing

P-bits

Fluctuaties tussen 0 en 1

Operatoren: verandering van
waarschijnlijkheidsverdeling



Quantum computing

Qubits

Elk coördinaat op de cirkel

Operatoren: verandering van
waarschijnlijkheidsverdeling en fase

Bloch Bol

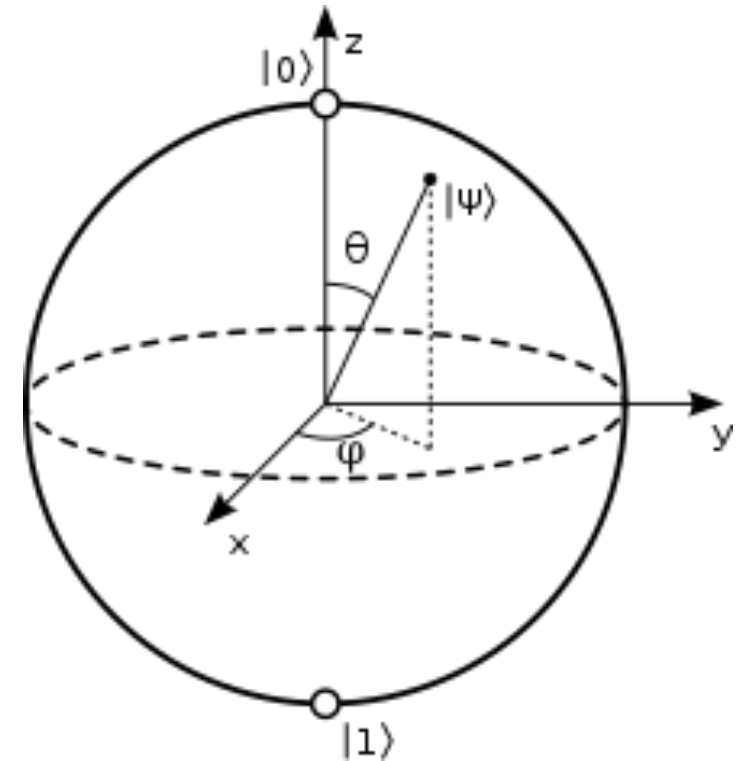
Representatie van een Qubit

Alle mogelijke qubittoestanden liggen op het **oppervlak**

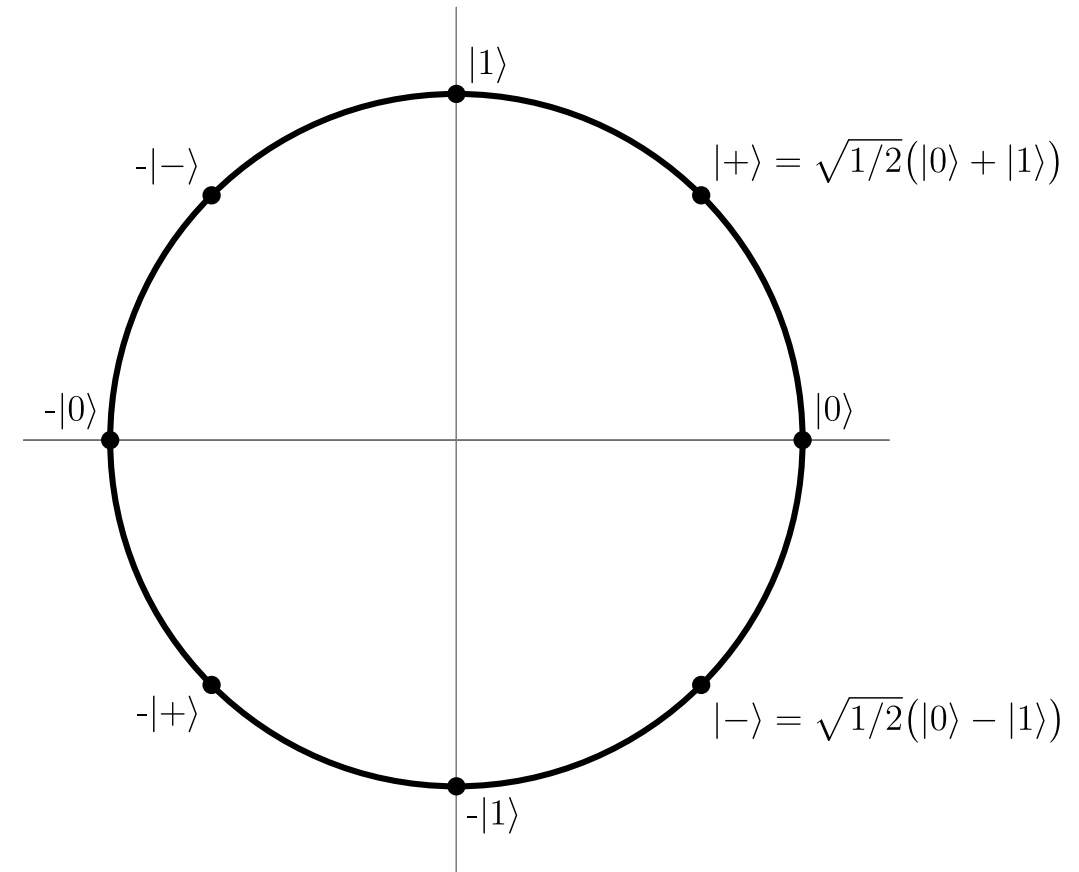
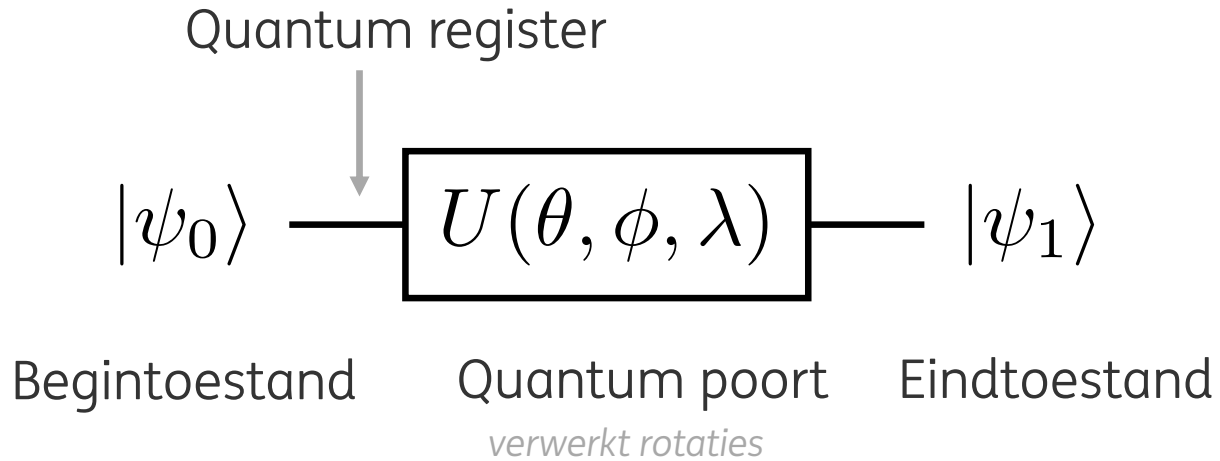
Informatieverwerking o.b.v. bewegen over het oppervlak, leidt tot verandering in **amplitudes**,

Toestand veranderingen door verticale bewegingen
(effect op de waarschijnlijkheidsverdeling)

Faseveranderingen door horizontale beweging
(geen effect op de waarschijnlijkheidsverdeling)



Quantum Circuit Model



De drie parameters maken elke rotatie mogelijk

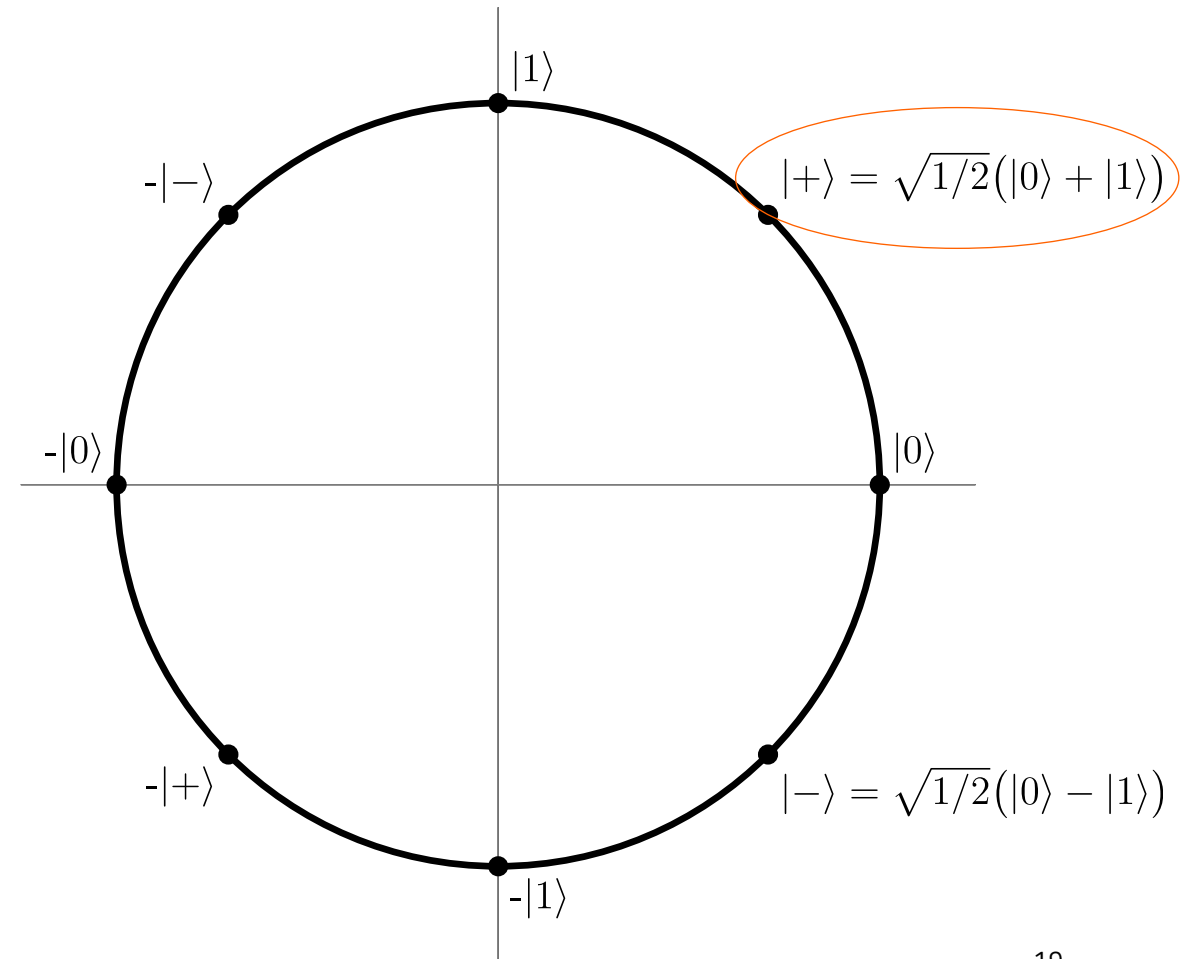
Quantum Effect 1: Superpositie

Superpositie:

Gelijktijdig voorkomen van meerdere toestanden.

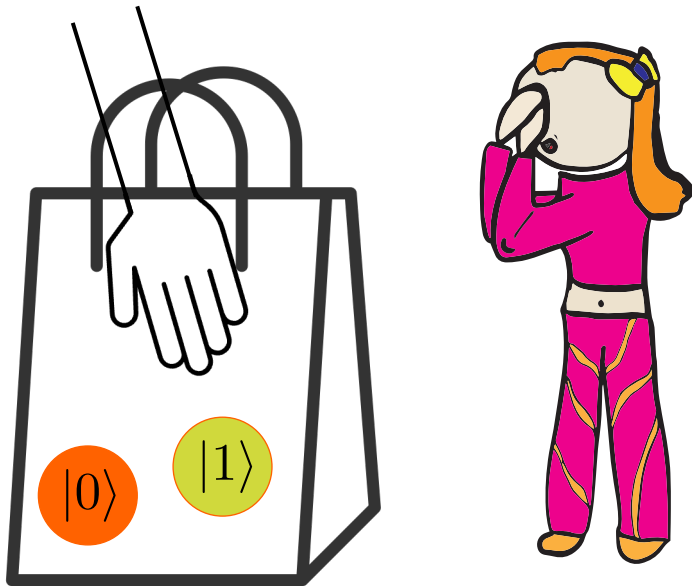
Leidt tot enorme parallelisme

Enkel een superpositie zou geen speedup geven

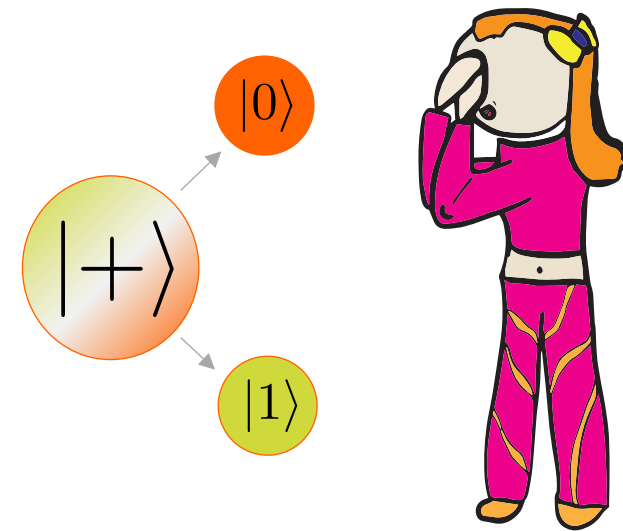


Superpositie of Ensembles

Wezenlijk verschil, ondanks de gelijkwaardige verdelingen



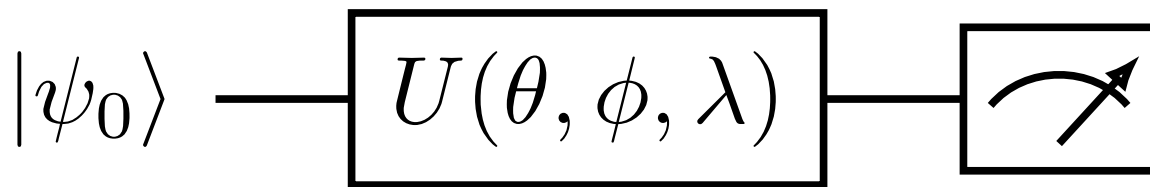
De zak is een **gemengde toestand**
Ensemble van een 0 en een 1
Beschreven door dichtheidsmatrices



Een qubit is een **pure toestand**
Superpositie van 0 en 1
Beschreven door vectoren (of dichtheidsmatrices)

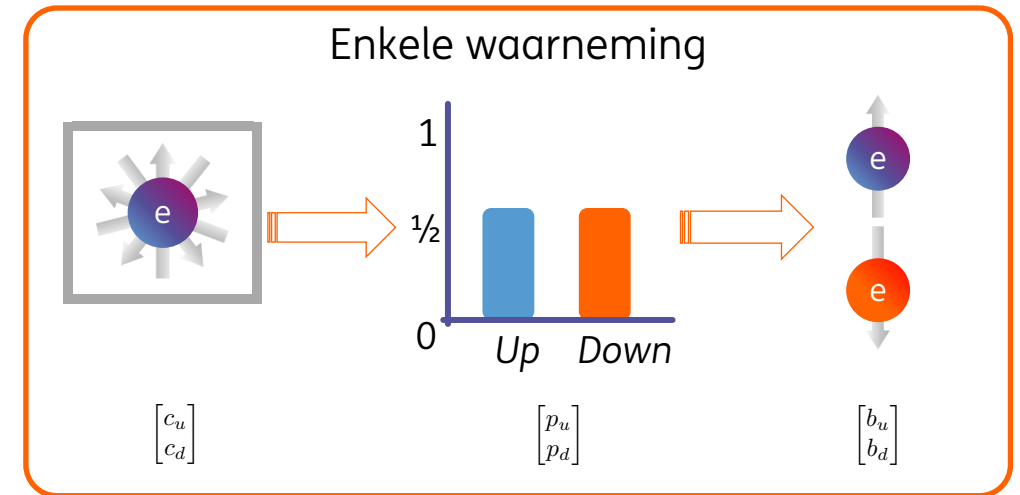
Quantum Effect 2: Meting

Instorting van de quantum toestand tot een deterministische toestand



Meting

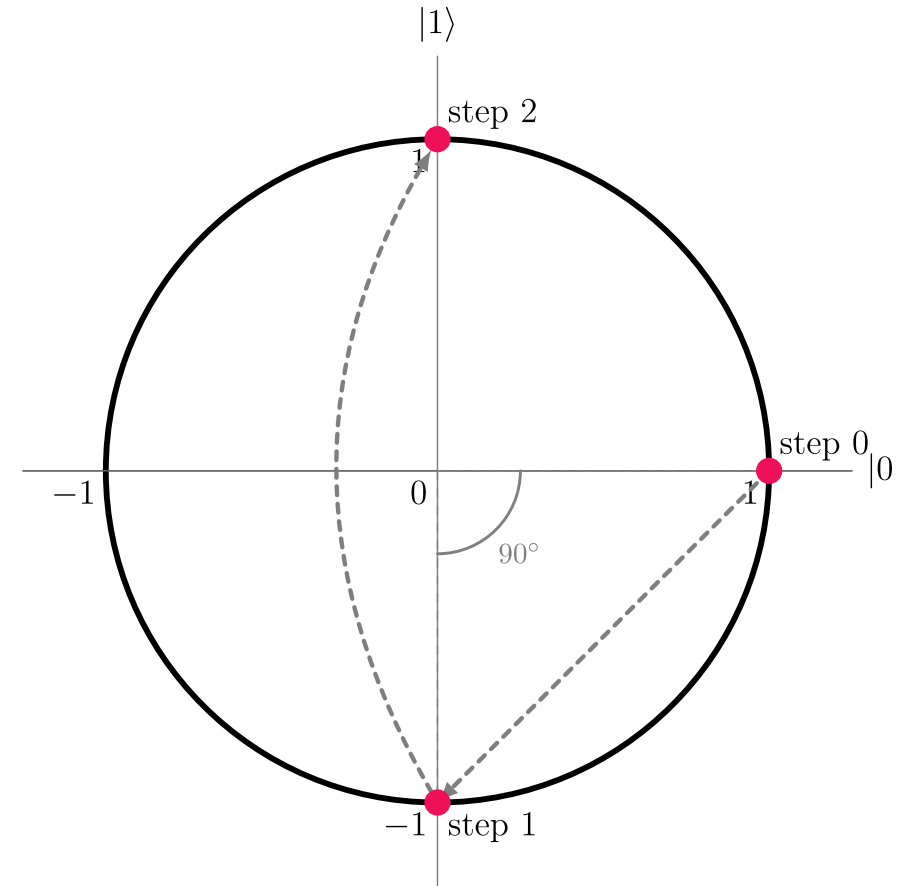
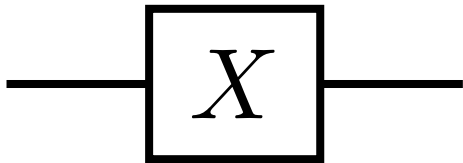
Keert een deterministische toestand terug
o.b.v. een waarschijnlijkheidsverdelingen
o.b.v. de amplitudes



Enkel-qubit poorten

X-gate

- 1: **90° met de klok mee**
- 2: Spiegelen langs X-as



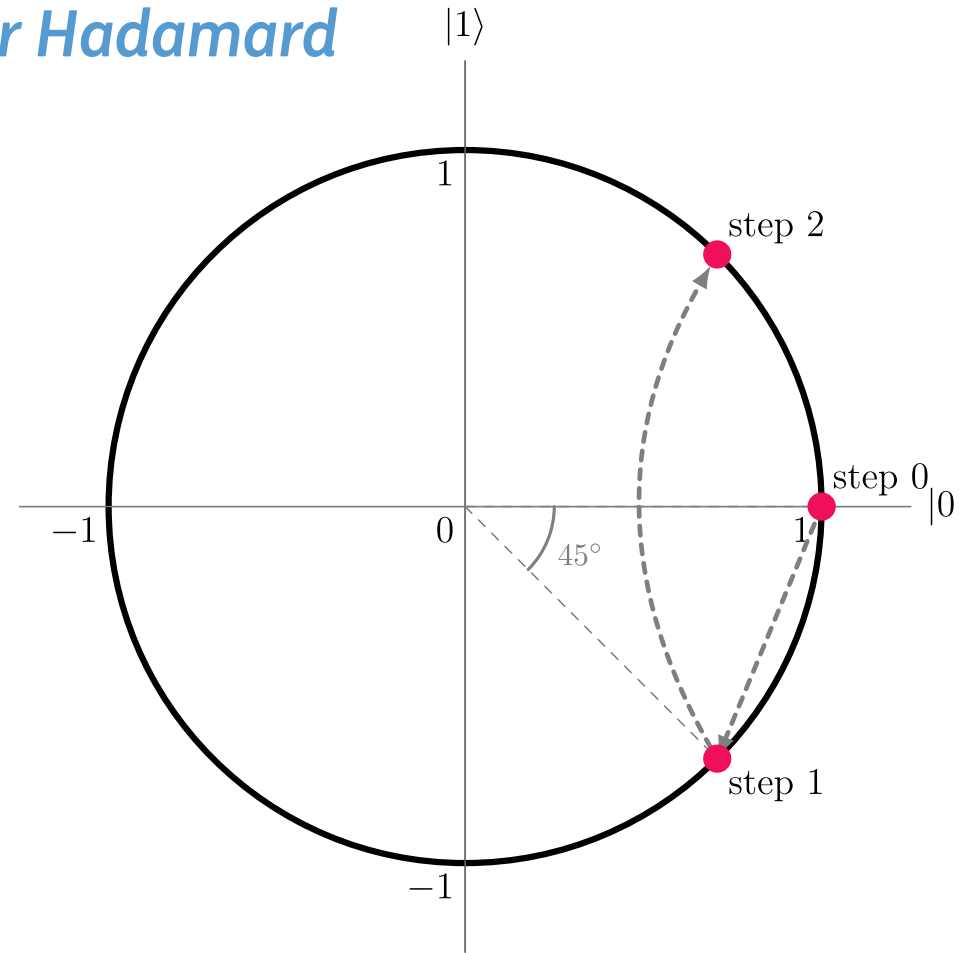
$$X |0\rangle = |1\rangle$$

$$X = U(\pi, 0, \pi) \quad X = \begin{bmatrix} 0 & 1 \\ 1 & 0 \end{bmatrix} \quad \begin{bmatrix} 0 & 1 \\ 1 & 0 \end{bmatrix} \begin{bmatrix} \alpha \\ \beta \end{bmatrix} = \begin{bmatrix} \beta \\ \alpha \end{bmatrix}$$

Enkel-Qubit oorten

H-poort: vernoemd naar Hadamard

- 1: 45° met de klok mee
- 2: Spiegelen langs X-as

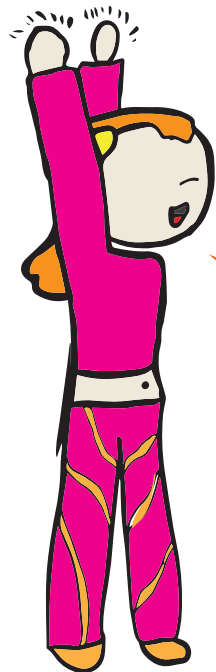


$$H |0\rangle = |+\rangle$$

$$X = U(\pi/2, 0, \pi) \quad \frac{1}{\sqrt{2}} \cdot \begin{bmatrix} 1 & 1 \\ 1 & -1 \end{bmatrix} \begin{bmatrix} \alpha \\ \beta \end{bmatrix} = \frac{1}{\sqrt{2}} \cdot \begin{bmatrix} \alpha + \beta \\ \alpha - \beta \end{bmatrix}$$

Quantum Effect 3: Interferentie

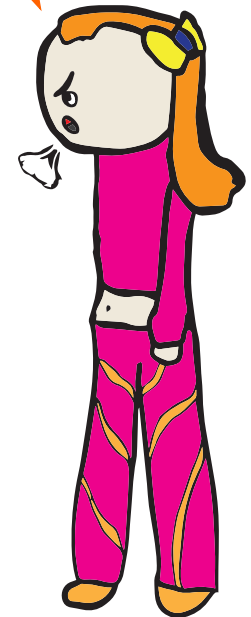
Constructieve en Destructieve; bewerkstelligt zinvolle algoritmen



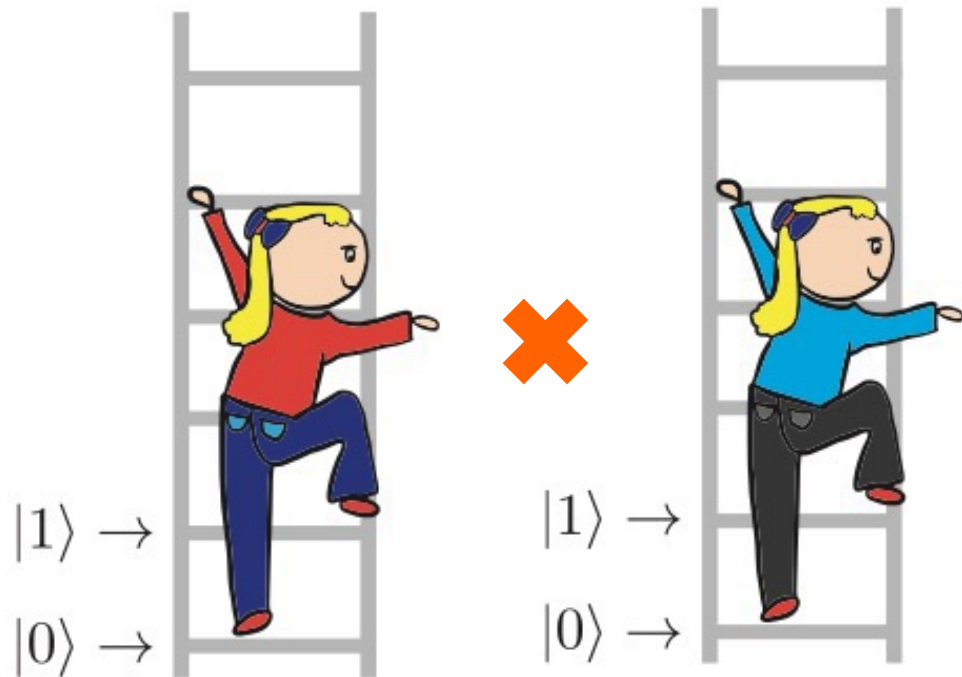
$|0\rangle$ is versterkt

$$\begin{aligned} H |+\rangle &= H |0\rangle + H |1\rangle \\ &= |+\rangle + |-\rangle \\ &= |0\rangle + |1\rangle + |0\rangle - |1\rangle \\ &= |0\rangle \end{aligned}$$

$|1\rangle$ is verdwenen



Multi-qubit toestanden



$$|girls\rangle = |red\rangle |blue\rangle$$

Basistoestanden

$$|girls\rangle = |0\rangle |0\rangle$$

$$|girls\rangle = |0\rangle |1\rangle$$

$$|girls\rangle = |1\rangle |0\rangle$$

$$|girls\rangle = |1\rangle |1\rangle$$

Quantum toestanden

$$|girls\rangle = c_{00} |0\rangle |0\rangle + c_{01} |0\rangle |1\rangle \\ + c_{10} |1\rangle |0\rangle + c_{11} |1\rangle |1\rangle$$

$$c_{ij} = c_i \cdot c_j$$

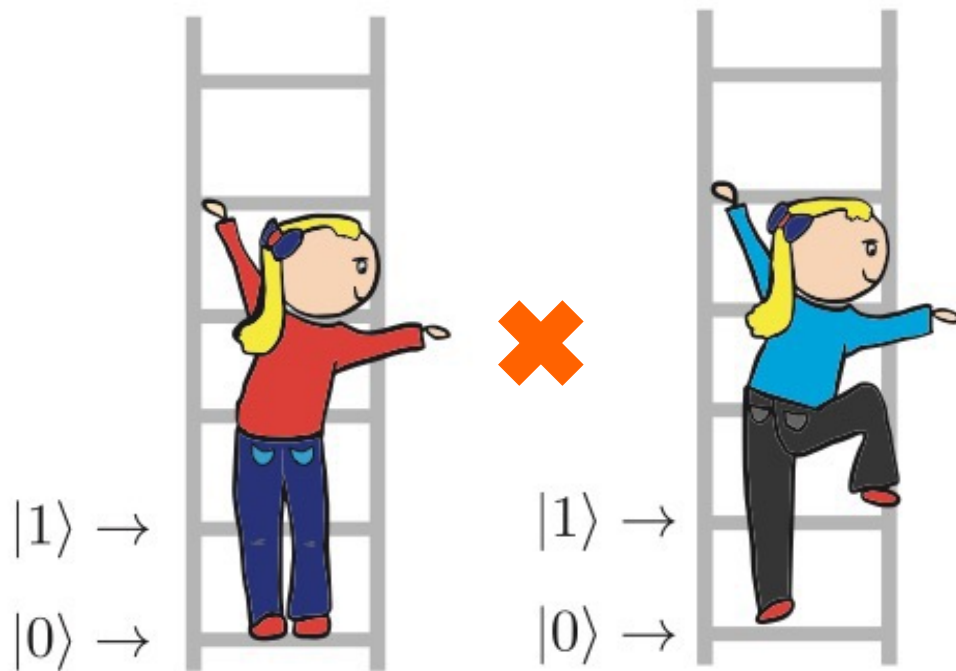
Multi-qubit toestanden

Voorbeeld

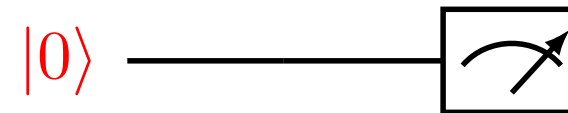
Verwerk alle combinaties $c_{ij} = c_i \cdot c_j$

$$\begin{array}{ll} c_0 = 1 & c_0 = \frac{\sqrt{2}}{2} \\ c_1 = 0 & c_1 = \frac{\sqrt{2}}{2} \end{array}$$

$$|girls\rangle = \frac{\sqrt{2}}{2} |0\rangle |0\rangle + \frac{\sqrt{2}}{2} |0\rangle |1\rangle$$



$$|girls\rangle = (|0\rangle) (\sqrt{1/2} |0\rangle + \sqrt{1/2} |1\rangle)$$



Quantum Effect 4: Verstrengeling

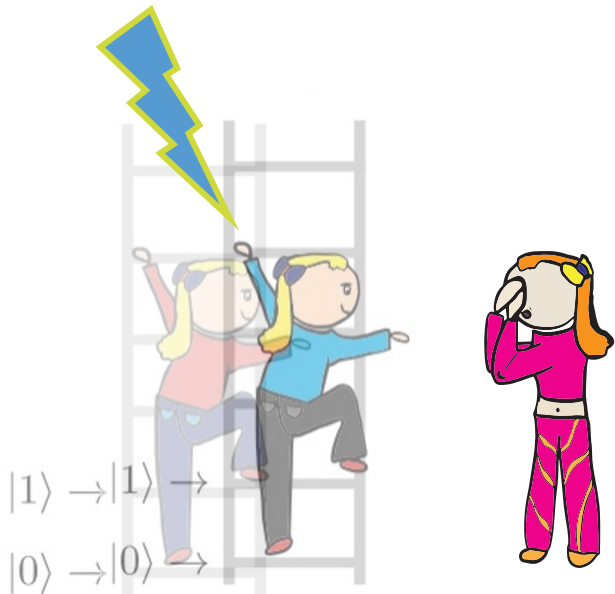
Sterk gecorreleerde toestanden

Herinnert u zich dit? $c_{ij} = c_i \cdot c_j$

Find the two amplitudes of the quantum state below

$$|girls\rangle = \frac{\sqrt{2}}{2} |0\rangle |0\rangle + \frac{\sqrt{2}}{2} |1\rangle |1\rangle$$

Impossible! The two states are not separable



Quantum Effect 4: Verstremgeling

Sterk gecorreleerde toestanden

$$|girls\rangle = \frac{\sqrt{2}}{2} |0\rangle |0\rangle + \frac{\sqrt{2}}{2} |1\rangle |1\rangle$$

Schrijf als twee toestanden

$$(c_0 |0\rangle + c_1 |1\rangle) \otimes (c_0 |0\rangle + c_1 |1\rangle)$$

Vind de juiste amplitudes

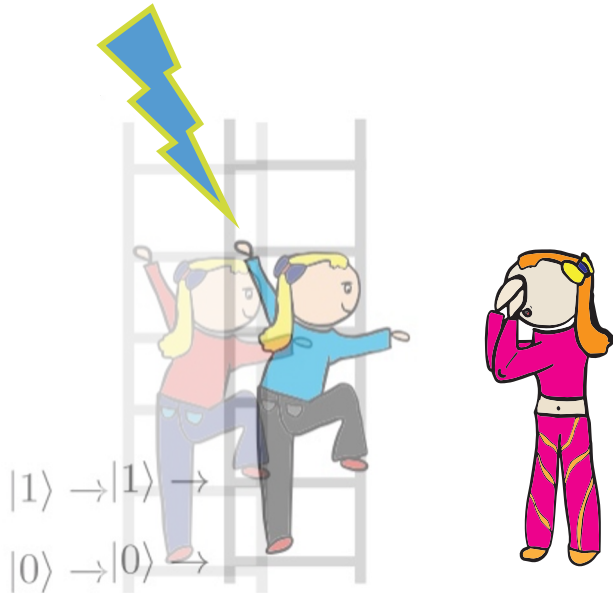
$$c_0 \cdot c_0 = \frac{1}{\sqrt{2}}$$

$$c_0 \cdot c_1 = 0$$

$$c_1 \cdot c_0 = 0$$

$$c_1 \cdot c_1 = \frac{1}{\sqrt{2}}$$

Onmogelijk! De twee toestanden kunnen niet onderscheiden worden



Meten van multi-qubit toestanden

Onafhankelijke toestanden en Verstrengelde toestanden

$$|girls\rangle = \frac{1}{2} |0\rangle |0\rangle + \frac{1}{2} |0\rangle |1\rangle + \frac{1}{2} |1\rangle |0\rangle + \frac{1}{2} |1\rangle |1\rangle$$



meet rood meisje, resultaat: 0

$$|girls\rangle = \frac{1}{2} |0\rangle |0\rangle + \frac{1}{2} |0\rangle |1\rangle$$



meet blauw meisje, resultaat: 1

$$|girls\rangle = \frac{1}{2} |0\rangle |1\rangle$$

$$|girls\rangle = \frac{\sqrt{2}}{2} |0\rangle |0\rangle + \frac{\sqrt{2}}{2} |1\rangle |1\rangle$$



meet rood meisje, resultaat: 0

$$|girls\rangle = \frac{\sqrt{2}}{2} |0\rangle |0\rangle$$

Samenvatting van Quantum Effecten

Absoluut afwezig in klassieke computers

Superpositie:

Meerdere toestanden leven gelijktijdig en leveren parallelisme. Enkel superpositie geeft geen speedup.

Verstrengeld:

Sterke correlatie tussen meerdere toestanden. Een superpositie van deze correlaties kan leiden tot enorme speedups.

Interferentie:

Toestanden die versterkt of gedimd kunnen worden. Dit kan leiden tot zinvolle algoritmieken.

Meting:

Quantum toestanden storten ineen en worden deterministische discrete toestanden. Veelvuldig herhalen van experimenten leidt tot een waarschijnlijkheidsverdeling. Belangrijk om een circuit te leiden tot gewenste / nuttige klassieke toestanden waaruit een oplossing te herleiden valt.

Quantum Computing met Python

Statevector Simulatie

```
q = QuantumRegister(1) # qubit
circ = QuantumCircuit(q) # circuit

# H-gate on quantum register
circ.h(q[0])

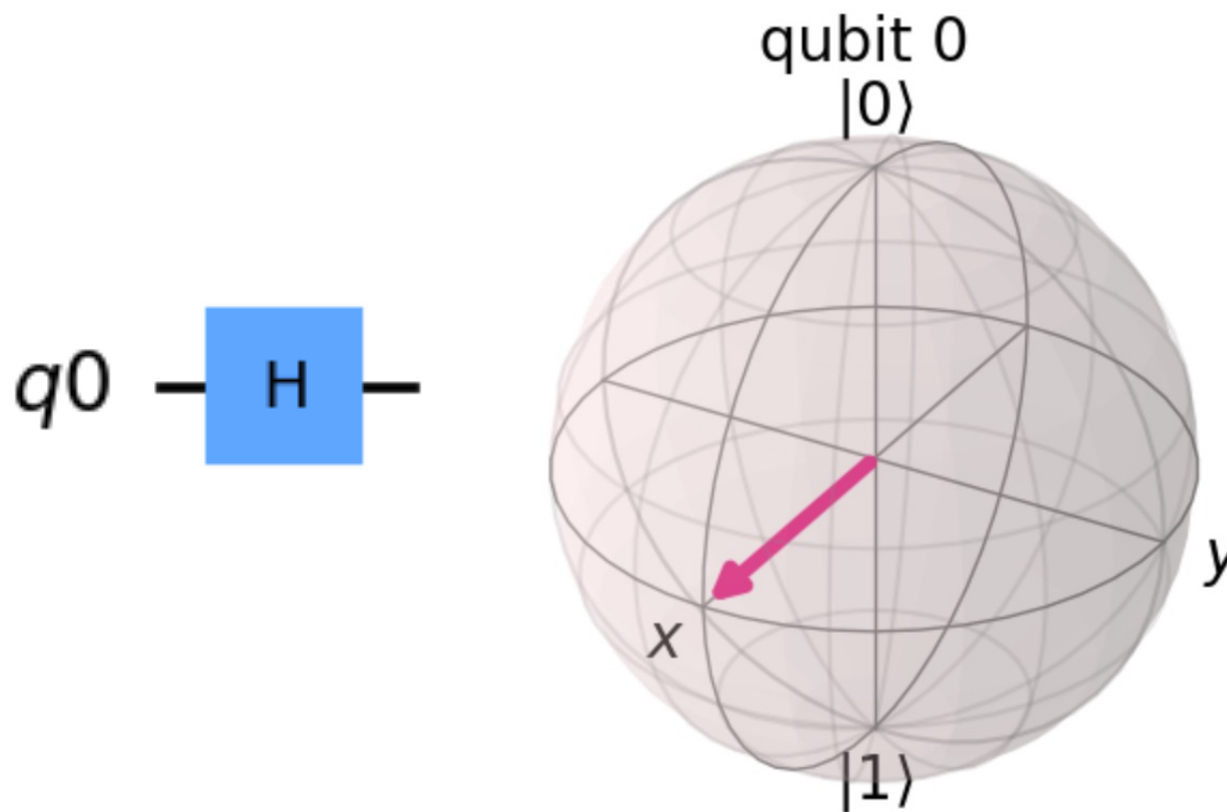
# choose a backend, simulators or real q. computers
backend = BasicAer.get_backend('statevector_simulator')

# execute experiment on backend
job = execute(backend=backend, experiments=circ)

# get results
results = job.result()

# get statevector
statevector = results.get_statevector(circ)

# plot results
plot_bloch_multivector(statevector)
```



Quantum Computing met Python

Ruisvrije simulaties met metingen

```
q = QuantumRegister(1) # qubit
c = ClassicalRegister(1) # deterministic state
circ = QuantumCircuit(q, c) # circuit

# H-gate on quantum register
circ.h(q[0])

circ.measure(q, c) # measure circuit

circ.draw() # draw the circuit

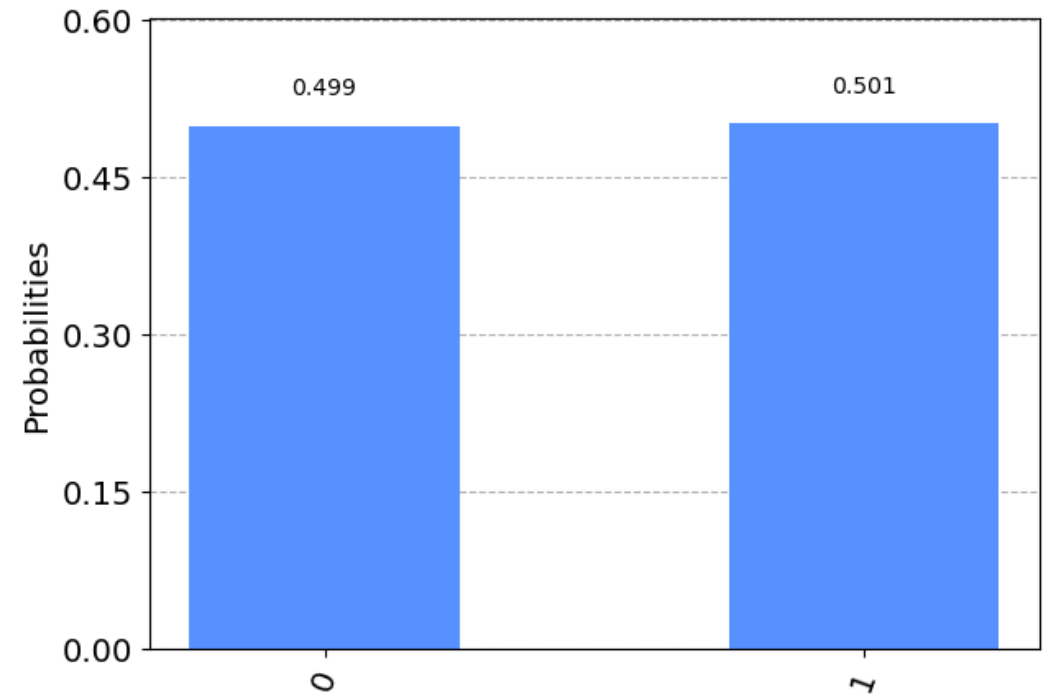
# choose a backend, simulators or real q. computers
backend = BasicAer.get_backend('qasm_simulator')

# execute experiment on backend
job = execute(backend=backend, shots=10000, experiments=circ)

# get results
results = job.result()

# get count distribution
counts = results.get_counts(circ)

# plot results
plot_histogram(counts)
```



Quantum Computing with Python

Op echte IBMQ hardware

```
from qiskit import IBMQ
from qiskit.compiler import transpile, assemble

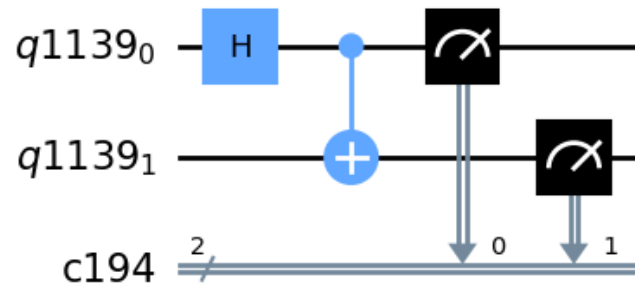
IBMQ.save_account(token) # get from IBMQ account (it's a string)
IBMQ.load_account()

provider = IBMQ.get_provider()
provider.backends(simulator=False, operational=True)
```

```
[<IBMQBackend('ibmq_lima') from IBMQ(hub='ibm-q', group='open', project='main')>,
 <IBMQBackend('ibmq_belem') from IBMQ(hub='ibm-q', group='open', project='main')>,
 <IBMQBackend('ibmq_quito') from IBMQ(hub='ibm-q', group='open', project='main')>,
 <IBMQBackend('ibmq_manila') from IBMQ(hub='ibm-q', group='open', project='main')>,
 <IBMQBackend('ibmq_nairobi') from IBMQ(hub='ibm-q', group='open', project='main')>,
 <IBMQBackend('ibmq_oslo') from IBMQ(hub='ibm-q', group='open', project='main')>]
```

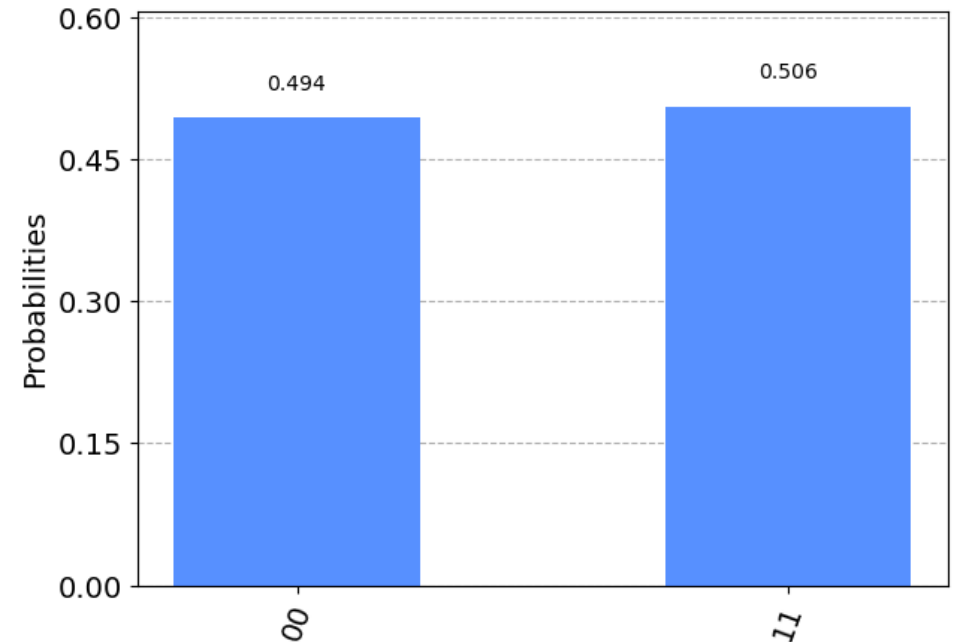
Quantum Computing met Python

Op echte hardware: een verstrengelingsexperiment



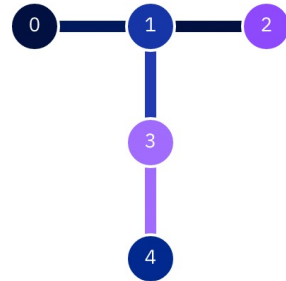
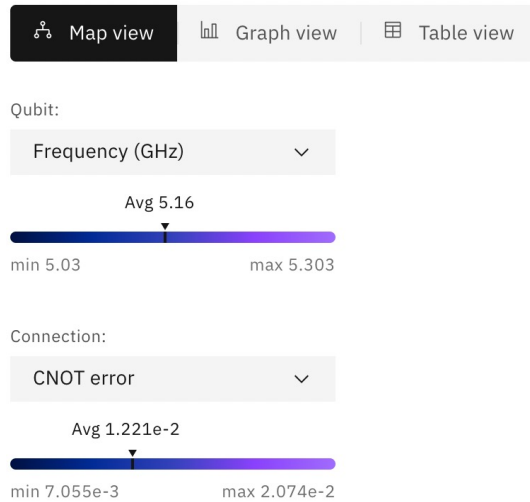
```
real_backend = provider.get_backend('ibmq_lima')
mapped_circuit = transpile(circ, backend=real_backend)
qobj = assemble(mapped_circuit, backend=backend, shots=10000)
job = backend.run(qobj)

result = job.result()
counts = result.get_counts(circ)
plot_histogram(counts)
```



Quantum Computing met Python

De Lima Backend; connectiviteit van qubits

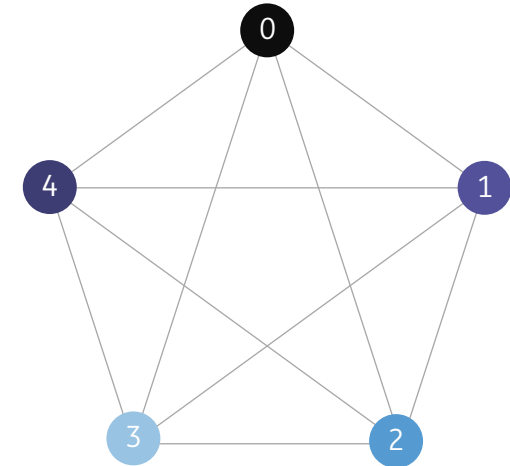


De Lima backend

Verstrengeling tussen 0 en 4: opoffering van 1 en 3

Kan 0 and 3 niet gelijktijdig verstrengelen met 2 en 4

Door ruis moeten berekeningen in ondiepe circuits plaatsvinden



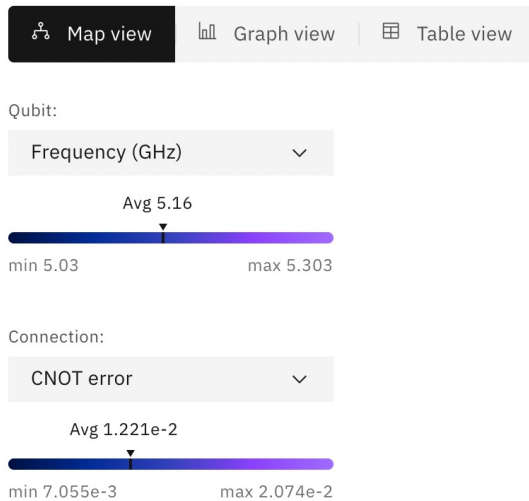
Ideaal 5 qubit systeem

Geen opofferingen nodig

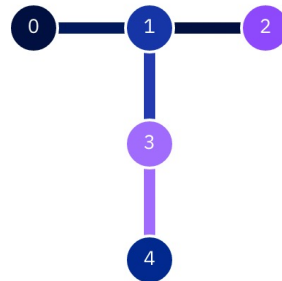
Zo goed als ruisloos: zeer diepe circuits

Quantum Computing met Python

NISQ-Tijdperk



De Lima backend



Verminderde connectiviteit ->
verminderde toepasselijkheid

Qubits zijn niet homogeen

Foutenpercentage van poorten: ondiepe circuits

Pas allerlei technieken toe:
Errorcorrecties
Optimaal mappen van qubits

Richting Toepassingen

M.b.v. quantumfenomenen

Verstrengel een input met een output middels een (wiskundige) functie

Start met een superpositie van alle inputs

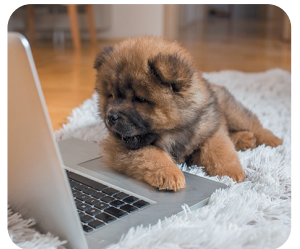
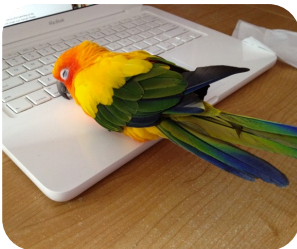
$$|\psi\rangle = c_0 \underline{|x_0, f(x_0)\rangle} + c_1 \underline{|x_1, f(x_1)\rangle} + \dots + c_n \underline{|x_n, f(x_n)\rangle}$$

Doe wat met de amplitudes tot het algoritme zijn doel bereikt

Veelal door interferentie

Ongesorteerd zoekopdracht

Bevindt de vogel zich in het lijstje



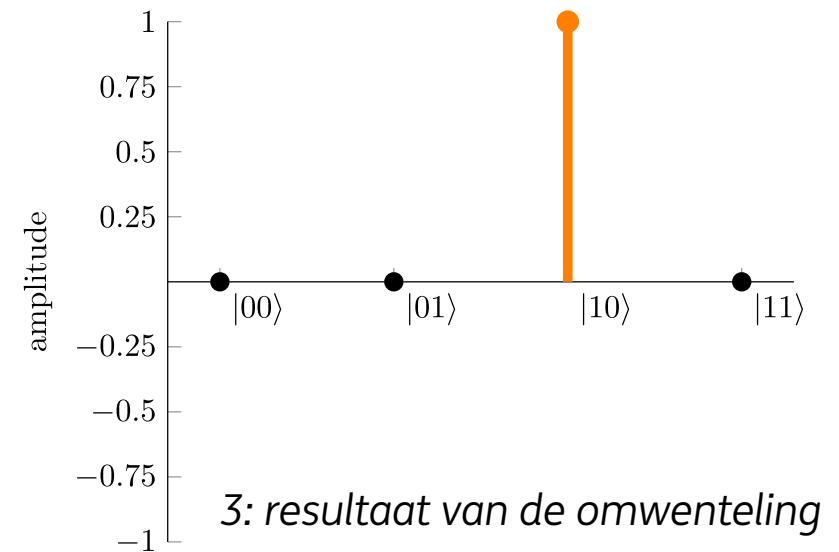
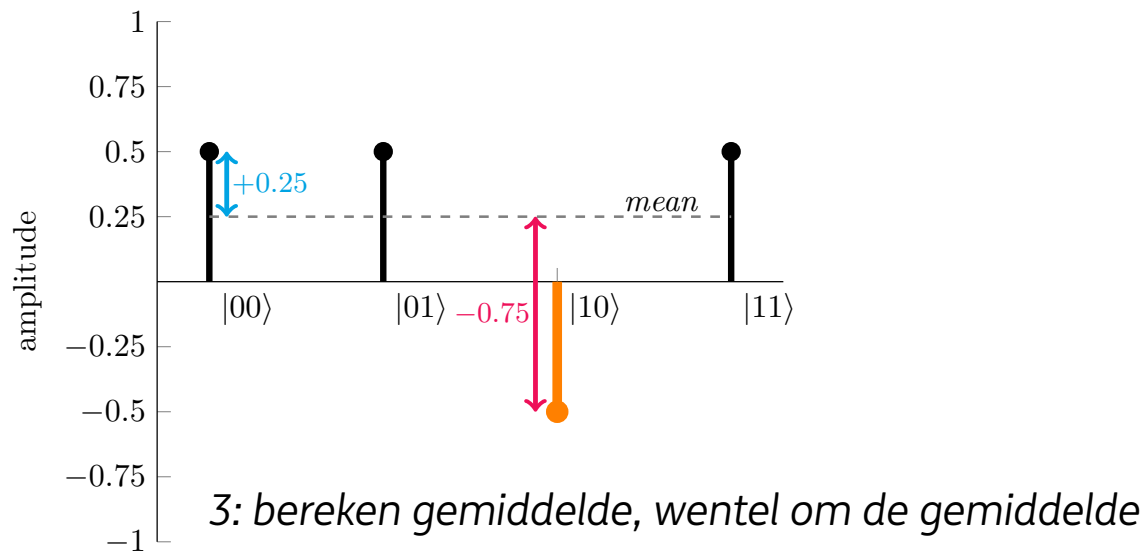
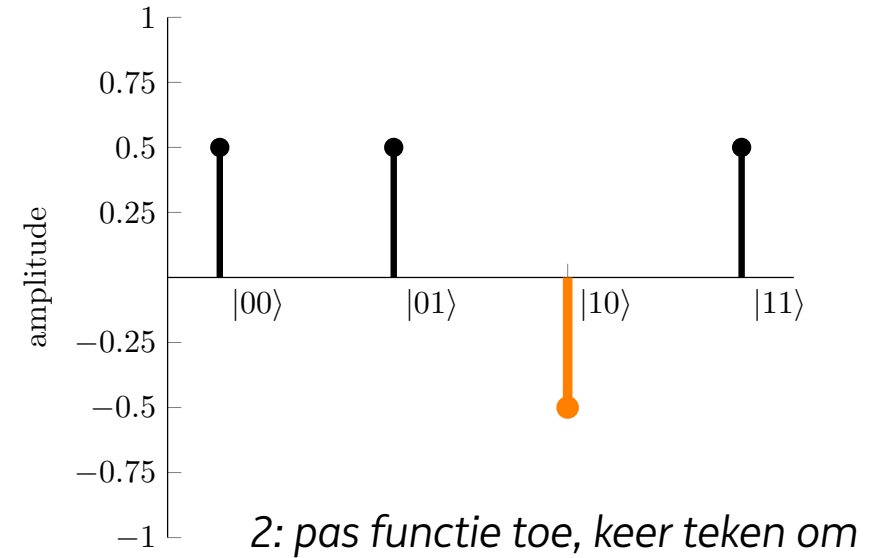
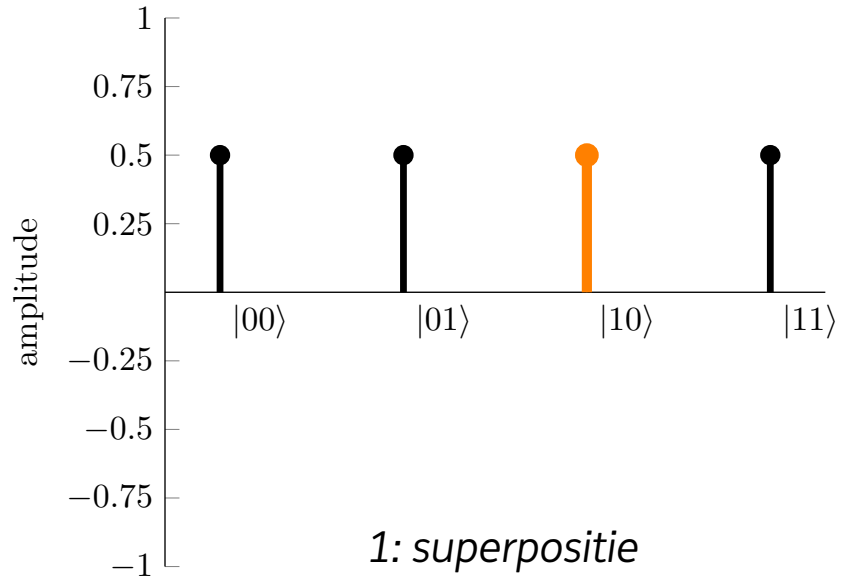
Name	Binary Label
Cat	00
Hamster	01
Bird	10
Dog	11

$\mathcal{O}(N)$

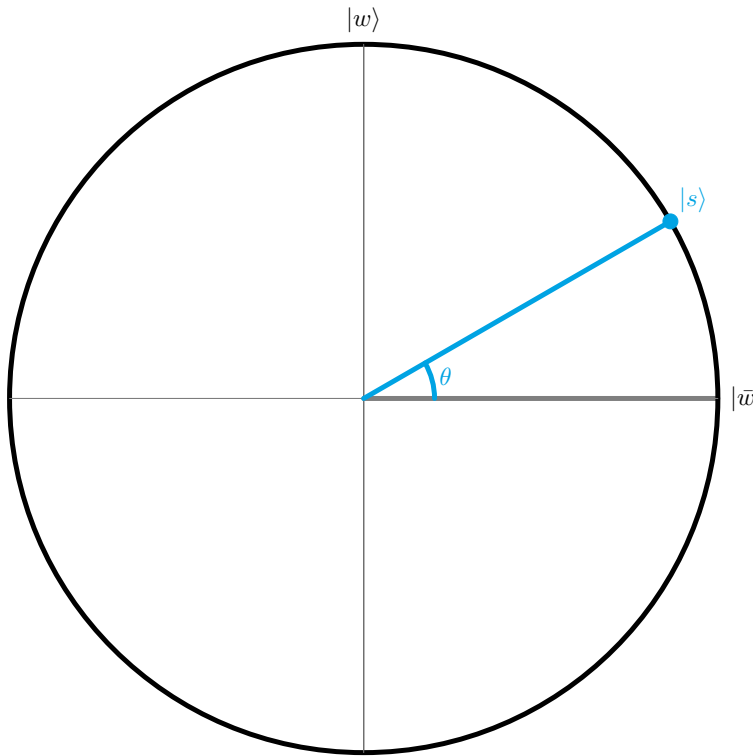
Klassiek, max. 4 stappen

Functie voor het quantumalgoritme $f(x) = \begin{cases} -1 & \text{if } x = target \\ 1 & \text{otherwise} \end{cases}$

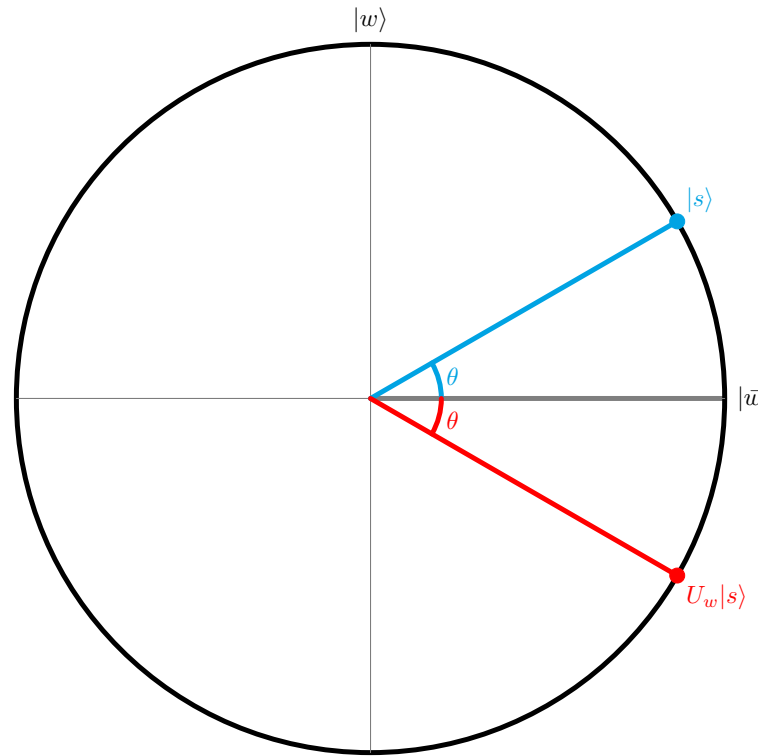
Grover's Algoritme



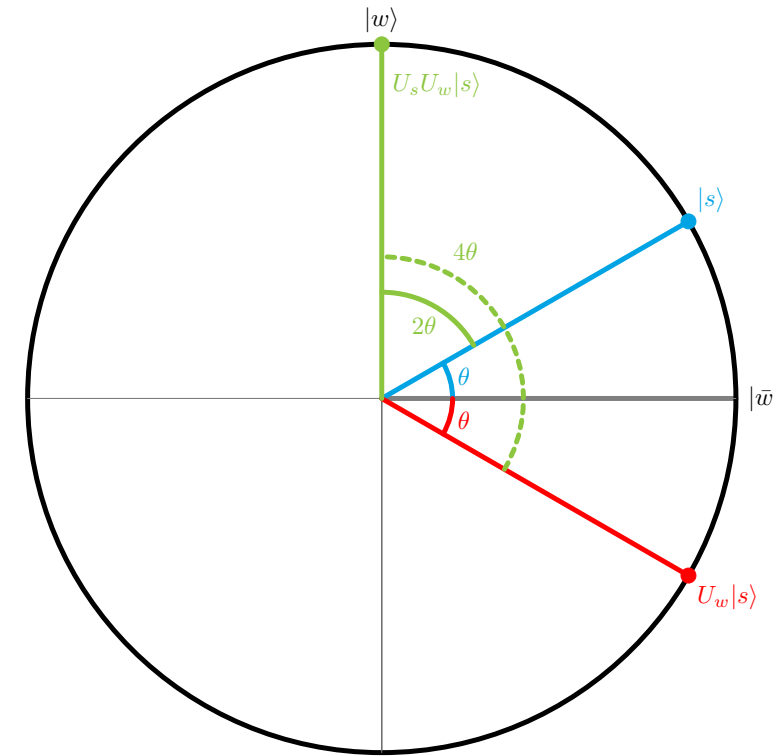
Geometrische Representatie van Grover



Superpositie

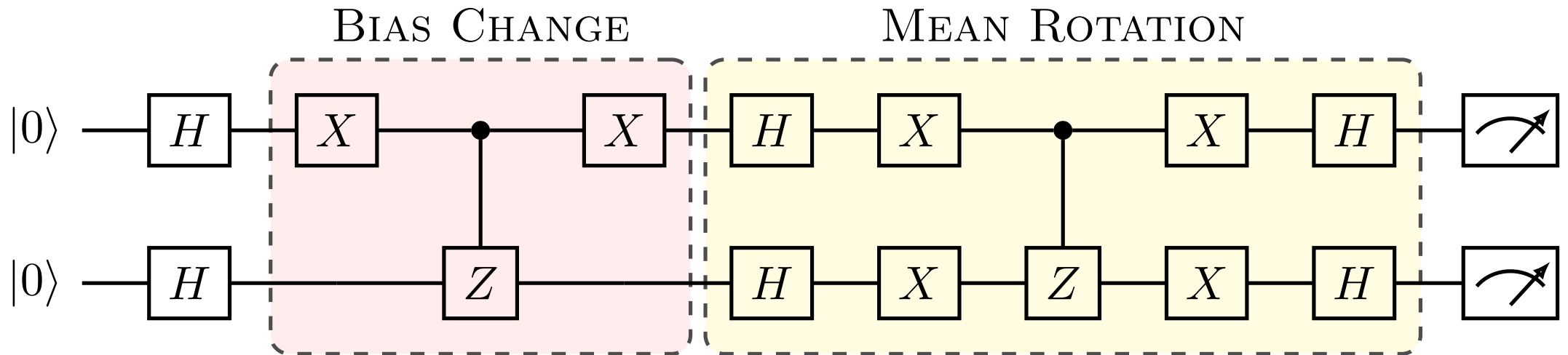


Keer teken om



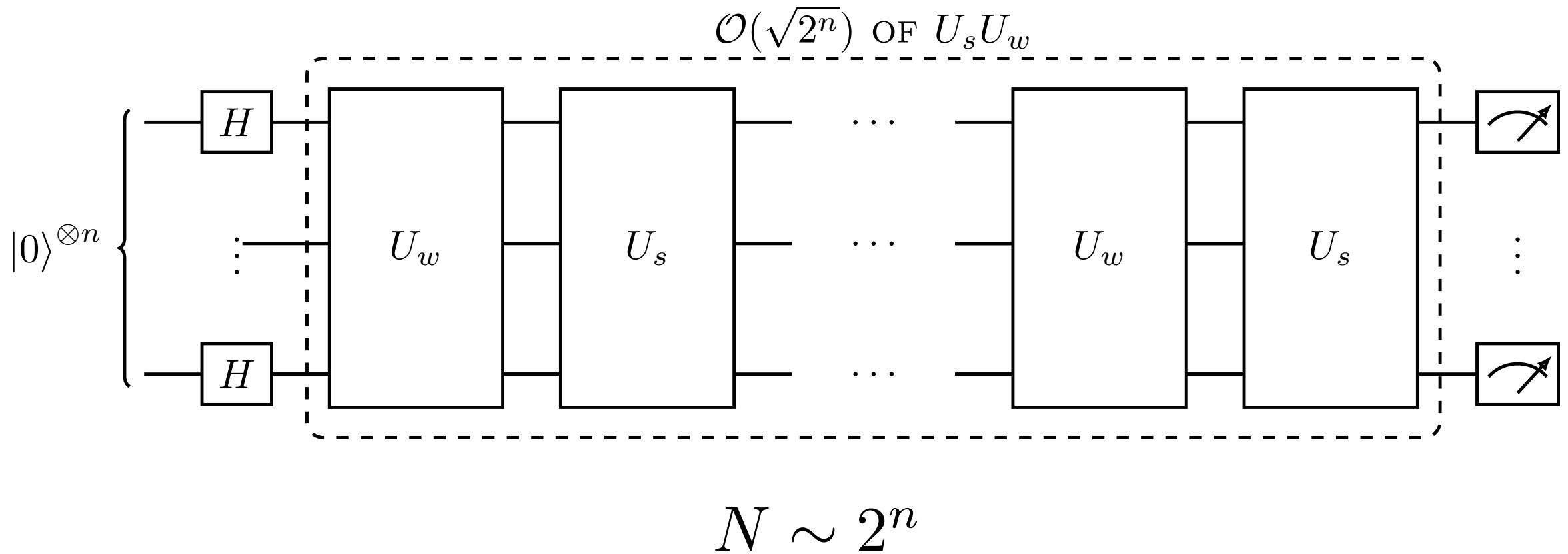
Wenteling om de gemiddelde

Een circuit voor Grover's algoritme



Grover in het algemeen

Kwadratische versnelling t.o.v. snelst (bekende) klassieke algoritme



Opmerkingen

Reflection around mean done quadratically faster

Voltooi een Grover iteratie $m \leq \frac{\pi}{4} \sqrt{N}$ maal

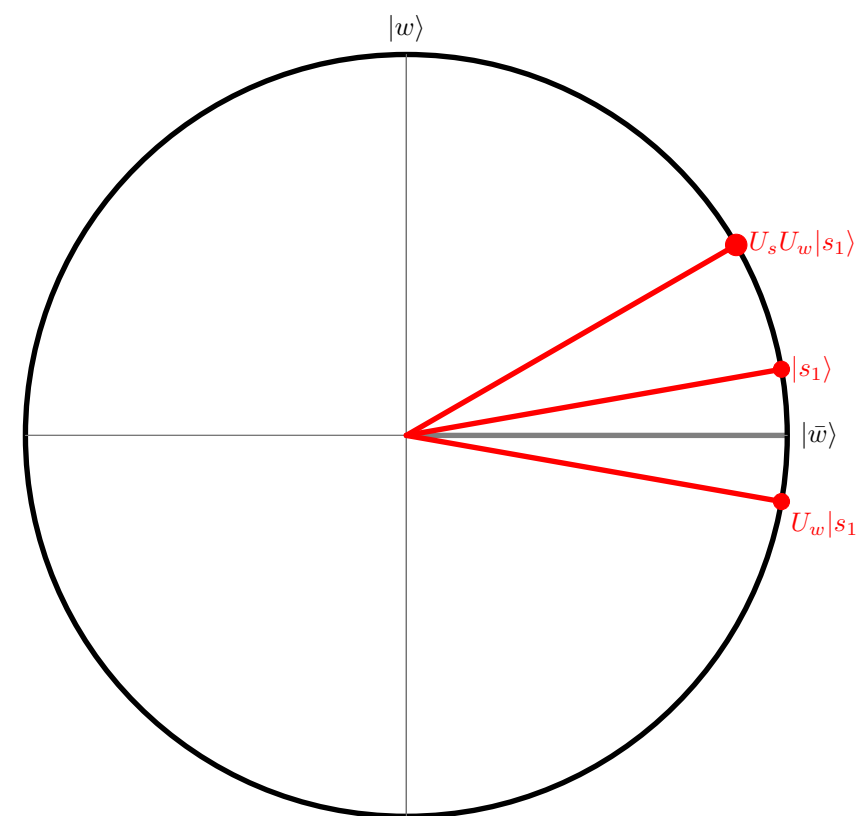
Anders zwenkt hij ver over zijn doel uit

Behalve basistoestanden ook
zoeken naar operaties op basistoestanden

Dit leidt tot belangrijke toepassingen,
meest opmerkelijk, Amplitude Estimation

Kraken van symmetrische encryptie

Hash collisions



Over kwadratische versnellingen

Aanname: beide computers verwerken 1 miljard stappen per seconde

List Size	Classical		Quantum	
	Number of steps	Computation Time	Number of steps	Computation Time
8	8	0	3	0
1.000	1.000	0	32	0
1.000.000	1.000.000	1 millisecond	1.000	0
1.000.000.000	1.000.000.000	0.5 seconds	32.000	0
1.000.000.000.000	1.000.000.000.000	8.3 minutes	1.000.000	1 millisecond
43.252.003.274.489.856.000	43.252.003.274.489.856.000	686 years	6.600.000.000	3.3 seconds

* Huidige quantum computers verwerken een stap 100 maal trager dan klassieke computers

** Sommige kwantumalgoritmen bieden zelfs een exponentiële versnelling

Ontbinden in priemgetallen

One-way functie

Priemgetallen

Vermenigvuldigingen



Verkrijg N door de vermenigvuldiging van P en Q



Ontbind N in de priemgetalle P en Q

Groen: makkelijk

Rood: moeilijk

Hierdoor interessant voor cryptografie

Shor's Algoritme

Overzicht

Kies een getal: $a < N$

Modulair machtsverheffingen

$a \bmod N$ $a^2 \bmod N$ $a^3 \bmod N$... $a^M \bmod N$

Verkrijg periode P door IQFT

Verwerk tot resultaat: $\gcd(a^{P/2} \pm 1, N)$

Voor de volgende slides, neemt men

$$N = 15$$

$$a = 7$$

Modulair Machtsverheffen

Gebruikmakende van 12 tellerqubits; superpositie van de functie

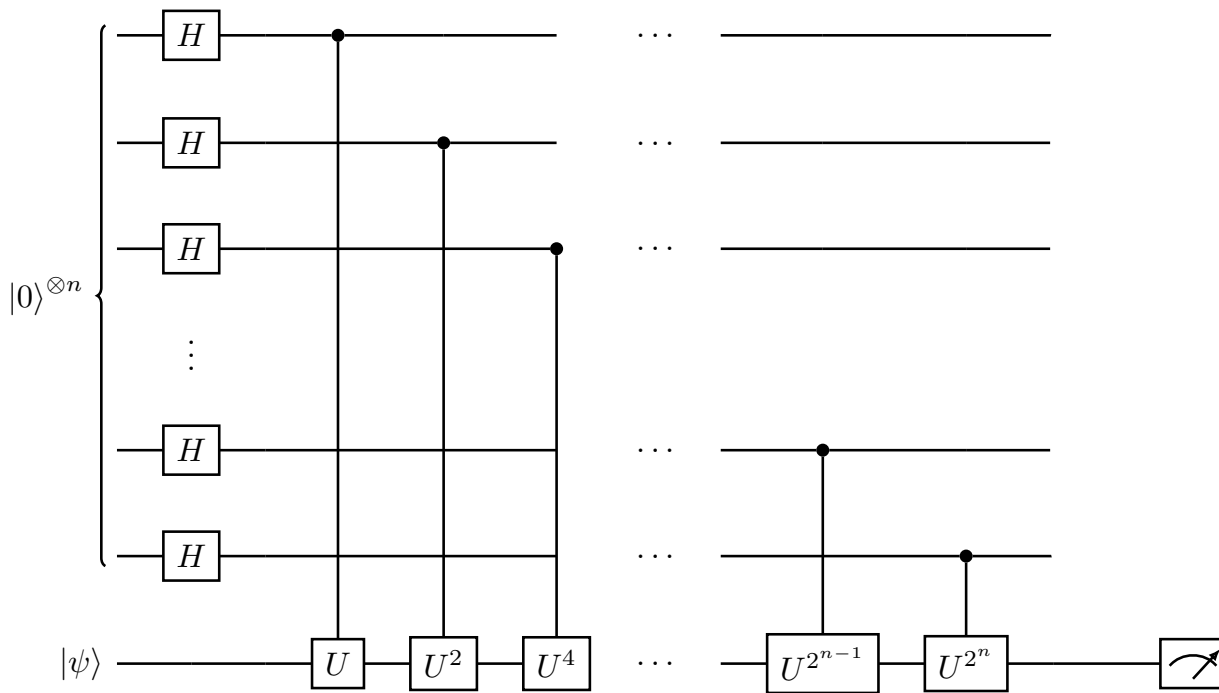
$7^0 \pmod{15} = 1$
 $7^1 \pmod{15} = 7$
 $7^2 \pmod{15} = 4$
 $7^3 \pmod{15} = 13$
 $7^4 \pmod{15} = 1$
 $7^5 \pmod{15} = 7$
 $7^6 \pmod{15} = 4$
 $7^7 \pmod{15} = 13$
 $7^8 \pmod{15} = 1$
 $7^9 \pmod{15} = 7$
...
...

Een superpositie van verstrengelde input-outputverbanden

$$|\Psi\rangle = \frac{1}{\sqrt{12}} \left(|0\rangle |1\rangle + |1\rangle |7\rangle + |2\rangle |4\rangle + |3\rangle |13\rangle \right. \\ \left. + |4\rangle |1\rangle + |5\rangle |7\rangle + |6\rangle |4\rangle + |7\rangle |13\rangle \right. \\ \left. + |8\rangle |1\rangle + |9\rangle |7\rangle + |10\rangle |4\rangle + |11\rangle |13\rangle \right)$$

Circuit voor modulair machtsverheffen

Inclusief een vervolgstap van een meting



$$|\Psi\rangle = \frac{1}{\sqrt{12}} \left(|0\rangle |1\rangle + |1\rangle |7\rangle + |2\rangle |4\rangle + |3\rangle |13\rangle \right. \\ \left. + |4\rangle |1\rangle + |5\rangle |7\rangle + |6\rangle |4\rangle + |7\rangle |13\rangle \right. \\ \left. + |8\rangle |1\rangle + |9\rangle |7\rangle + |10\rangle |4\rangle + |11\rangle |13\rangle \right)$$

Meet rechter-qubit, bijv. 7

$$|\Psi\rangle = \frac{\sqrt{4}}{\sqrt{12}} \left(|1\rangle |7\rangle + |5\rangle |7\rangle + |9\rangle |7\rangle \right)$$

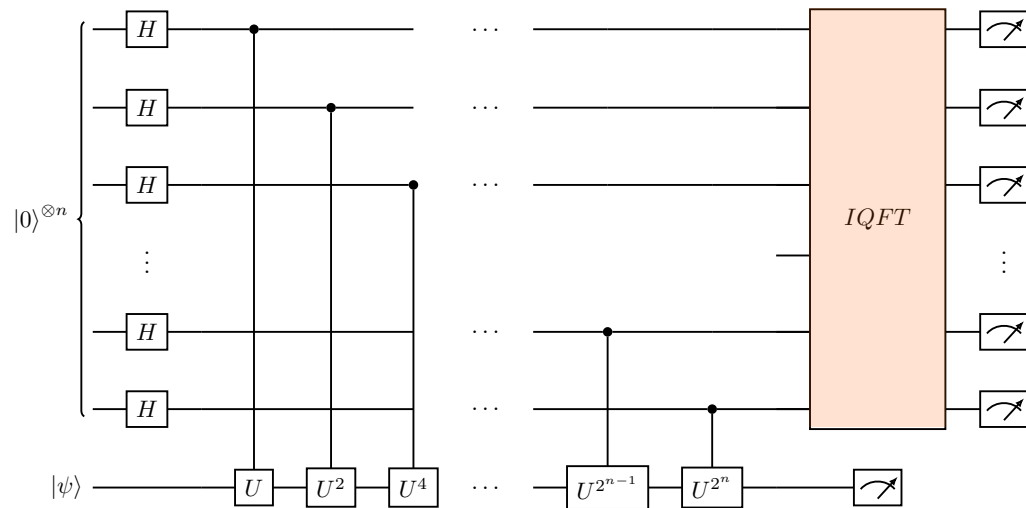
Herleid periode vanuit de amplitude

Periode en Eindresultaat

$$P = 4$$

$$\gcd(a^{P/2} \pm 1, N)$$

Middels: Inverse Quantum Fourier Transform



Exponentiële versnelling

$$\gcd(7^{4/2} - 1, 15) = \gcd(48, 15) = 3$$

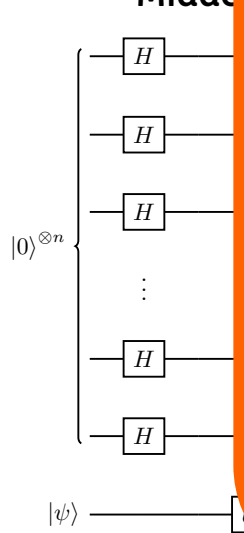
$$\gcd(7^{4/2} + 1, 15) = \gcd(50, 15) = 5$$

$$3 \cdot 5 = 15$$

Periode en Eindresultaat

$$P = A \cdot \text{mod}(P/2 + 1, M)$$

Middle



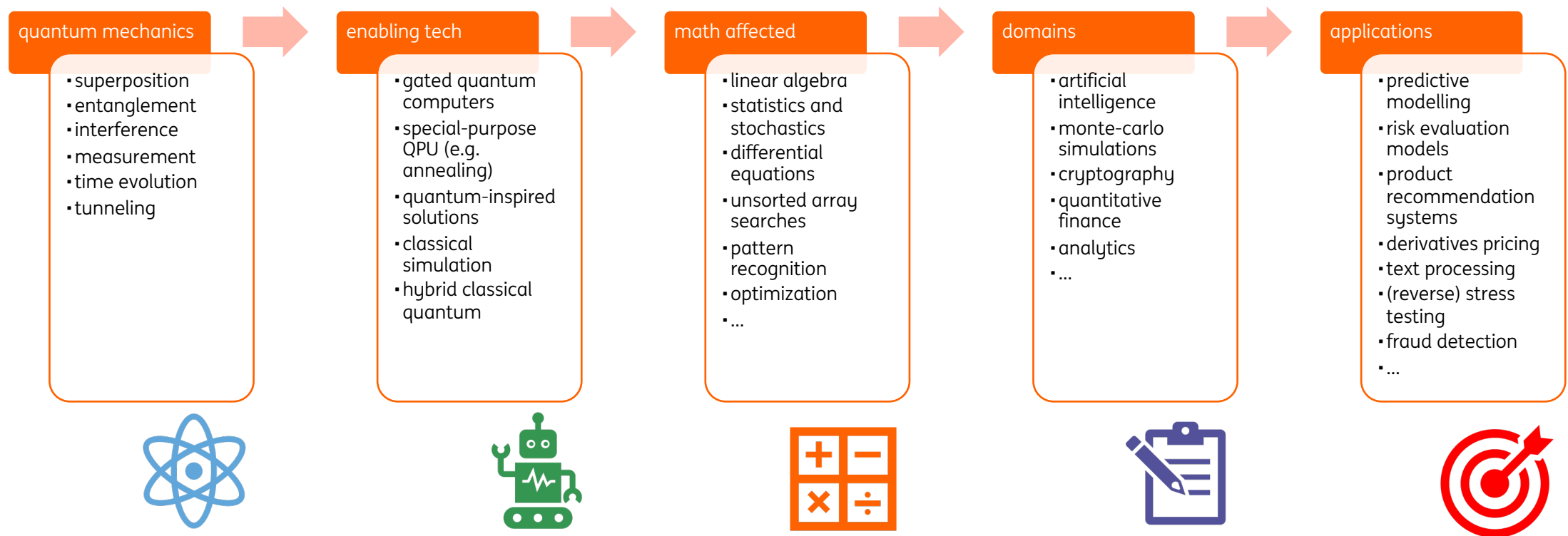
Het kraken van RSA-2048 met Shor

- 300 triljoen jaar klassieke computer
- 8 uur 20M fysieke qubits met ruis
- 10 seconden 4099 logische qubits
- Grootste getal 21

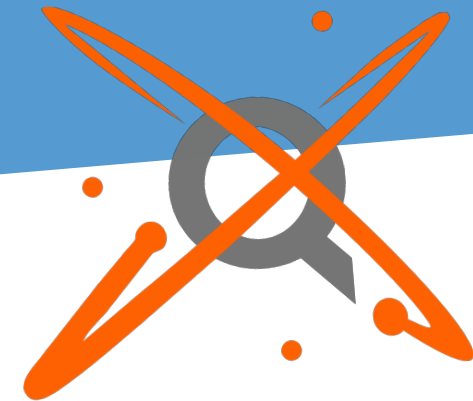
Exponentiële versnelling

$$5 \cdot 5 = 15$$

Mogelijkheden binnen de Financiële Sector



Hartelijk Dank!



ING Quantum

Shor's Algorithm

Final remarks

Shor and quantum computing

Breaking RSA-2048 by Shor on Gated Quantum Computers:

- 300 trillion years classical computer
- 8 hours 20M noisy qubits
- 10 seconds 4099 logical qubits
- Largest number 21

Optimization on gated quantum computers

Breaking RSA-768 by Variational Quantum Computing:

- 1.099.551.473.898 was factored on only 3 qubits in 2021

Optimization on special purpose device

Breaking RSA-768 by Quantum Annealing:

- 2 years on classical computer
- ~150k qubits (current state 5k) to crack RSA-768
- Factored $N = 1005973$ on 98 qubits in 2019